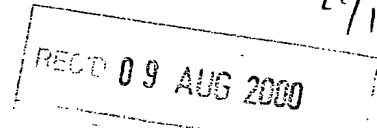


**BUNDESREPUBLIK DEUTSCHLAND**

#

DE 00/1869

4



21/12

**Prioritätsbescheinigung über die Einreichung  
einer Patentanmeldung**

**Aktenzeichen:** 100 18 119.8

**Anmeldetag:** 12. April 2000

**Anmelder/Inhaber:** PACT Informationstechnologie GmbH, München/DE

**Bezeichnung:** Hardware und Betriebsverfahren

**IPC:** G 06 F 9/44

Die angehefteten Stücke sind eine richtige und genaue Wiedergabe der ursprünglichen Unterlagen dieser Patentanmeldung.

München, den 25. Juli 2000  
**Deutsches Patent- und Markenamt**  
Der Präsident  
Im Auftrag

Weihmayer



**PRIORITY DOCUMENT**  
SUBMITTED OR TRANSMITTED IN  
COMPLIANCE WITH  
RULE 17.1(a) OR (b)

Aufgabe der Erfindung und Anwendungsbereiche

Die vorliegende Erfindung erstreckt sich auf das Gebiet von programmierbaren und insbesondere während des Betriebes umprogrammierbaren arithmetischen und/oder logischen Bausteinen (VPUs) mit Vielzahl von arithmetischen und/oder logischen Einheiten, deren Verschaltung ebenfalls programmierbar und während des Betriebes umprogrammierbar ist. Derartige logische Bausteine sind unter dem Oberbegriff FPGA von verschiedenen Firmen verfügbar. Weiterhin sind mehrere Patente veröffentlicht, die spezielle arithmetische Bausteine mit automatischer Datensynchronisation und verbesserter arithmetischen Datenverarbeitung offenlegen. Sämtliche beschriebene Bausteine besitzen eine zwei- oder mehrdimensionale Anordnung von logischen und/oder arithmetischen Einheiten (PAEs), die über Bussysteme miteinander verschaltbar sind.

Kennzeichnend für die der Erfindung entsprechenden Bausteine ist, daß sie entweder die nachfolgend aufgelisteten Einheiten besitzen, oder zur erfindungsgemäßen Anwendung diese Einheiten programmiert oder (auch extern) hinzugefügt werden:

1. mindestens eine Einheit (CM) zum Laden der Konfigurationsdaten.
2. PAEs.
3. mindestens ein Interface (IOAG) zu einem oder mehreren Speichern und/oder peripheren Geräten.

Aufgabe der Erfindung ist es, ein Programmierverfahren zur Verfügung zu stellen, das es ermöglicht die beschriebenen Bausteine in gewöhnlichen Hochsprachen effizient zu programmieren und dabei die Vorteile der durch die Vielzahl von Einheiten entstehende Parallelität der beschriebenen

3  
Bausteine weitgehend automatisch, vollständig und effizient zu nutzen.

### Stand der Technik

Bausteine der genannten Gattung werden zumeist unter Verwendung gewöhnlicher Datenflusssprachen programmiert. Dabei treten zwei grundlegende Probleme auf:

1. Die Programmierung in Datenflusssprachen ist für Programmierer gewöhnungsbedürftig, tief sequentielle Aufgaben lassen sich nur sehr umständlich beschreiben.
2. Große Applikationen und sequentielle Beschreibungen lassen sich mit den bestehenden Übersetzungsprogrammen (Synthese-Tools) nur bedingt auf die gewünschte Zieltechnologie abbilden (synthetisieren).

Für gewöhnlich werden Applikationen in mehrere Teilapplikationen partitioniert, die dann einzeln auf die Zieltechnologie synthetisiert werden (Fig. 1). Die einzelnen Binärcodes werden dann auf jeweils einen Baustein geladen. Wesentliche Voraussetzung der Erfindung ist das in DE 44 16 881 beschriebene Verfahren, das es ermöglicht, mehrere partitionierte Teilapplikationen innerhalb eines Bausteines zu nutzen, indem die zeitliche Abhängigkeit analysiert wird und über Steuersignale sequentiell die jeweils erforderlichen Teilapplikationen bei einer übergeordneten Ladeeinheit angefordert und von dieser daraufhin auf den Baustein geladen werden.

Existierende Synthese-Tools sind nur bedingt in der Lage Programm-Schleifen auf Bausteine abzubilden (Fig. 2 0201).

4

Dabei werden **FOR**-Schleifen (0202) als Primitiv-Schleife häufig noch dadurch unterstützt, daß die Schleife vollkommen auf die Ressourcen des Zielbausteines ausgewalzt werden.

**WHILE**-Schleifen (0203) besitzen im Gegensatz zu **FOR**-Schleifen keinen konstanten Abbruchswert. Vielmehr wird durch eine Bedingung evaluiert, wann der Schleifenabbruch stattfindet. Daher ist gewöhnlicherweise (wenn die Bedingung nicht konstant ist) zur Synthesezeit nicht bekannt, wann die Schleife abbricht. Durch das dynamische Verhalten können Synthese-Tools diese Schleifen nicht fest auf Hardware abgebildet d.h. auf einen Zielbaustein übertragen werden.

**Rekursionen** sind grundsätzlich nicht auf Hardware abbildbar, wenn die Rekursionstiefe nicht zur Synthesezeit bekannt und damit konstant ist. Bei der Rekursion werden mit jeder neuen Rekursionsebene neue Ressourcen allokiert. Das würde bedeuten, daß mit jeder Rekursionsebene neue Hardware zur Verfügung gestellt werden muß, was aber dynamisch nicht möglich ist.

Selbst einfache Grundstrukturen sind von Synthesetools nur dann abbildbar, wenn der Zielbaustein ausreichend groß ist, d.h. ausreichende Ressourcen bietet.

Einfache zeitliche Abhängigkeiten (0301) werden durch heutige Synthese-Tools nicht in mehrere Teilapplikationen partitioniert und sind deshalb nur als Ganzes auf einen Zielbaustein übertragbar.

Bedingte Ausführungen (0302) und Schleifen über Bedingungen (0303) sind ebenfalls nur abbildbar, wenn ausreichende Ressourcen auf dem Zielbaustein existieren.

### Erfindungsgemäßes Verfahren

5

Durch das in DE 44 16 881 beschriebene Verfahren ist es möglich Bedingungen zur Laufzeit innerhalb der Hardwarestrukturen der genannten Bausteine zu erkennen und derart dynamisch darauf zu reagieren, daß die Funktion der Hardware entsprechend der eingetretenen Bedingung modifiziert wird, was im wesentlichen durch das Konfigurieren einer neuen Struktur geschieht.

Ein wesentlicher Schritt in dem erfindungsgemäßen Verfahren ist die Partitionierung von Graphen (Applikationen) in zeitlich unabhängige Teilgraphen (Teilapplikationen).

Der Begriff "zeitliche Unabhängigkeit" wird damit definiert, daß die Daten, die zwischen zwei Teilapplikationen übertragen werden durch einen Speicher, gleich welcher Ausgestaltung (also auch mittels einfacher Register), entkoppelt werden. Dies ist besonders an den Stellen eines Graphen möglich, an denen eine klare Schnittstelle mit einer begrenzten und möglichst minimalen Menge von Signalen zwischen den beiden Teilgraphen besteht.

Die zeitliche Unabhängigkeit kann in großen Graphen durch das gezielte Einfügen von klar definierten und möglichen einfachen Schnittstellen zum Speichern von Daten in einen Zwischenspeicher herbeigeführt werden (vgl.  $S_n$  in Fig. 4). Schleifen weisen grundsätzlich eine starke zeitliche Unabhängigkeit auf, da sie lange Zeit über einer bestimmten Menge von (zumeist) in der Schleife lokalen Variablen arbeiten und nur beim Schleifeneintritt und beim Verlassen der Schleife eine Übertragung der Operanden bzw. des Ergebnisses erfordern.

Durch die zeitliche Unabhängigkeit wird erreicht, daß nach der vollständigen Ausführung einer Teilapplikation die

nachfolgende Teilapplikation geladen werden kann, ohne daß irgendwelche weiteren Abhängigkeiten oder Einflüsse auftreten. Beim Speichern der Daten in den genannten Speicher kann ein Status-Signal (Trigger, vgl. PACT08) generiert werden, das die übergeordneten Ladeeinheit zum Nachladen der nächsten Teilapplikation auffordert. Der Trigger kann bei der Verwendung von einfachen Registern als Speicher immer generiert werden, wenn das Register beschrieben wird. Bei der Verwendung von Speichern, i.b. von solchen die nach dem FIFO-Prinzip arbeiten, ist die Generierung des Triggers von mehreren Bedingungen abhängig. Folgende Bedingungen können beispielsweise einzeln oder kombiniert ein Trigger erzeugen:

- Ergebnis-Speicher voll
- Operanden-Speicher leer
- keine neuen Operanden
- Beliebige Bedingung innerhalb der Teilapplikation, generiert durch z.B.
  - \* Vergleicher
  - \* Zähler

Eine Teilapplikation wird im folgenden auch Modul genannt, um die Verständlichkeit aus Sicht der klassischen Programmierung zu erhöhen. Aus demselben Grund werden Signale im folgenden auch Variablen genannt. Dabei unterscheiden sich diese Variablen in einem Punkt wesentlich von herkömmlichen Variablen: Jeder Variable ist ein Statussignal (Ready) zugeordnet, das anzeigt, ob diese Variable einen gültigen Wert besitzt. Wenn ein Signal einen gültigen (berechneten) Wert besitzt, ist das Statussignal Ready; wenn das Signal keinen gültigen Wert besitzt (Berechnung noch nicht abgeschlossen), ist das Statussignal Not\_Ready. Das Prinzip ist ausführlich in der Patentanmeldung P196 51 075.9 beschrieben.

7

Zusammenfassend kann den Triggern folgende Funktionen zugeordnet werden:

1. Steuerung der Datenverarbeitung als Status einzelner PAEs
2. Steuerung der Umkonfiguration der PAEs (zeitliche Abfolge der Teilapplikationen)

Insbesondere die Abbruchkriterien von Schleifen (WHILE) und bedingte Sprünge in Teilapplikationen werden von Triggern realisiert.

In Fall 1 werden die Trigger zwischen PAEs ausgetauscht, in Fall 2 werden die Trigger von den PAEs zur CT gesendet.

Wesentlich an der Erfindung ist, daß der Übergang zwischen Fall 1 und 2 im wesentlichen von der Anzahl der gerade laufenden Teilapplikationen in der Matrix von PAEs abhängt. Mit anderen Worten, Trigger werden zu den Teilapplikationen gesendet, die auf den PAEs aktuell ausgeführt werden. Ist eine Teilapplikation nicht konfiguriert, so werden die Trigger an die CT gesendet. Wichtig dabei ist: Wäre auch diese Teilapplikation konfiguriert, so würden die entsprechenden Trigger direkt an die entsprechenden PAEs gesendet werden.

Dadurch ergibt sich eine automatische Skalierung der Rechenleistung bei steigender PAE-Größe, bzw. der Kaskadierung mehrerer Matrizen aus PAEs. Dann wird nämlich keine Umkonfigurationszeit mehr benötigt, sondern die Trigger werden direkt an die nun bereits konfigurierten PAEs gesendet.

#### Wave-Reconfiguration

Durch eine geeignete Hardwarearchitektur (vgl. Fig. 10/11) ist es möglich mehrere Module zu überlappen. D.h. mehrere Module sind in den PAEs vorkonfiguriert und es kann mit minimalem Zeitaufwand zwischen den Konfigurationen umgeschaltet werden,

so daß aus einer Menge von mehreren Konfigurationen pro PAE immer genau eine Konfiguration aktiviert ist.

Wesentlich ist, daß dabei in einer Menge von PAEs in die ein Modul A und B vorkonfiguriert ist, ein Teil der Menge mit einem Teil von A und eine anderer Teil der Menge gleichzeitig mit einem Teil B konfiguriert sein kann. Dabei ist die Trennung der beiden Teile exakt durch die PAE gegeben, in der der Umschaltzustand zwischen A und B auftritt. Das bedeutet, daß ausgehend von einem bestimmten Zeitpunkt bei allen PAEs bei denen vor diesem Zeitpunkt A zur Ausführung aktiviert war B aktiviert ist und bei allen anderen PAEs nach diesem Zeitpunkt immer noch auf A aktiviert ist. Mit steigender Zeit wird bei immer mehr PAEs B aktiviert.

Die Umschaltung erfolgt aufgrund von bestimmten Daten, Zuständen die sich aus der Berechnung der Daten ergeben oder aufgrund beliebiger anderer Ereignisse.

Das bewirkt, daß direkt nach Verarbeitung eines Datenpaketes zu einer anderen Konfiguration umgeschaltet werden kann.

Gleichzeitig/Alternativ kann ein Signal (RECONFIG-TRIGGER) an den CM gesendet werden, das das Vorladen von neuen Konfigurationen durch den CM bewirkt. Das Vorladen kann dabei auf anderen von der aktuellen Datenverarbeitung abhängigen oder unabhängigen PAEs erfolgen. Durch eine Entkopplung der aktiven Konfiguration von den zur Unkonfiguration zur Verfügung stehenden Konfigurationen (vgl. Fig. 10/11) können auch gerade arbeitende (aktive) PAEs, insbesondere auch die PAE, die den RECONFIG-TRIGGER erzeugt, mit neuen Konfigurationen geladen werden. Dies ermöglicht eine mit der Datenverarbeitung überlappende Konfiguration.

In Figur 13 ist das Grundprinzip der Wave-Reconfiguration (WRC) dargestellt. Dabei wird von einer Reihe von PAEs (PAE1-9) ausgegangen, durch die die Daten pipelineähnlich laufen. Es



9

wird ausdrücklich darauf hingewiesen, daß WRC nicht auf Pipelines beschränkt ist und die Vernetzung und Gruppierung der PAEs jede beliebige Form annehmen kann. Die Darstellung wurde jedoch gewählt um ein einfaches Beispiel zum besseren Verständnis zu zeigen.

In Fig. 13a läuft ein Datenpaket in die PAE1. Die PAE besitzt 4 mögliche Konfigurationen (A, F, H, C), die durch eine geeignete Hardware (vgl. Fig. 10/11) wählbar sind. Die Konfiguration F ist in in PAE1 für das aktuelle Datenpaket aktiviert (schraffiert dargestellt).

Im nächsten Takt läuft das Datenpaket nach PAE2 und ein neues Datenpaket erscheint in PAE1. Auch in PAE2 ist F aktiv.

Zusammen mit dem Datenpaket erscheint ein Ereignis ( $\uparrow 1$ ) bei PAE1. Das Ereignis entsteht durch Eintreffen eines beliebigen Ereignisses von aussen bei der PAE (z.B. eines Statusflags oder Triggers) oder wird innerhalb der PAE durch die ausgeführte Berechnung generiert.

In Fig. 13c wird in PAE1 aufgrund des Ereignisses ( $\uparrow 1$ ) die Konfiguration H aktiviert, gleichzeitig erscheint ein neues Ereignis ( $\uparrow 2$ ), das im nächsten Takt (Fig. 13d) die Aktivierung von Konfiguration A bewirkt.

In Fig. 13e trifft ( $\uparrow 3$ ) bei PAE1, die das Überschreiben von F mit G bewirkt (Fig. 13f). Durch das Eintreffen von ( $\uparrow 4$ ) wird G aktiviert (Fig. 13g). ( $\uparrow 5$ ) bewirkt das Laden von K anstelle von C (Fig 13h,i) und ( $\uparrow 6$ ) lädt und startet F anstelle von H (Fig. 13j).

In den Figuren 13g\*) bis 13j\*) wird verdeutlicht, daß beim Durchlaufen einer Wave-Reconfiguration nicht alle PAEs nach demselben Muster arbeiten müssen. Wie eine PAE von einer Wave-Reconfiguration konfiguriert wird, ist prinzipiell abhängig von ihrer eigenen Konfiguration. Hier soll dargestellt werden,

70

daß PAE4 bis PAE6 derart konfiguriert sind, daß sie anders auf die Ereignisse reagieren, als die übrigen PAEs. Beispielsweise wird in Fig. 13g\*) aufgrund von Ereignis  $\uparrow 2$  nicht A sondern H aktiviert (vgl. Fig. 13g). Dasselbe gilt für 13h\*). Aufgrund von Ereignis  $\uparrow 3$  wird in Fig. 13i\*) nicht G geladen, sondern die Konfiguration F bleibt bestehen und A bleibt aktiviert. In Fig. 13j\*) ist bei PAE7 angedeutet, daß Ereignis  $\uparrow 3$  wieder das Laden von G auslösen wird. In PAE4, bewirkt das Ereignis  $\uparrow 4$  das Aktivieren von F anstatt der Konfiguration G (vgl. Fig. 13j).

In Fig. 13 bewegt eine Welle von Umkonfigurationen aufgrund von Ereignissen durch eine Menge von PAEs, die 2- oder mehrdimensional ausgestaltet sein kann. Es ist nicht zwingend notwendig, daß eine einmal stattfindende Umkonfiguration durch die gesamten Fluß hinweg stattfindet. Beispielsweise könnte die Umkonfiguration mit der Aktivierung von A aufgrund des Ereignisses ( $\uparrow 2$ ) nur lokal in den PAEs 1 bis 3 und PAE7 stattfinden, während in allen anderen PAEs weiterhin die Konfiguration H aktiviert bleibt. Mit anderen Worten:

- a) Es ist möglich, daß ein Ereignis nur lokal auftritt und daher nur lokal eine Umaktivierung zur Folge hat,
- b) ein globales Ereignis, hat möglicherweise keine Auswirkung auf manche PAEs; abhängig vom ausgeführten Algorithmus.

Bei den PAEs die nach ( $\uparrow 2$ ) weiterhin H aktiviert halten, kann selbstverständlich das Eintreffen des Ereignisses ( $\uparrow 3$ ) vollkommen andere Auswirkungen haben, (i) wie etwa das Aktivieren von C statt dem Laden von G, (ii) andererseits könnte ( $\uparrow 3$ ) auf diese PAEs auch gar keinen Einfluß haben.

### Das Prozessormodell

Die in den folgenden Figuren gezeigten Graphen besitzen als Graphenknoten immer in Modul, wobei davon ausgegangen wird, daß mehrere Module auf einen Zielbaustein abgebildet werden können. Das heißt, obwohl alle Module zeitlich voneinander unabhängig sind, wird nur bei den Modulen eine Umkonfiguration durchgeführt, und/oder ein Datenspeicher eingefügt, die mit einem vertikalen Strich und  $\Delta t$  markiert sind. Dieser Punkt wird Umkonfigurationszeitpunkt genannt.

Der Umkonfigurationszeitpunkt ist abhängig von den bestimmten Daten oder den Zuständen die sich aus der Verarbeitung der bestimmten Daten ergeben.

Das bedeutet zusammenfassend:

1. Große Module können an geeigneten Stellen partitioniert werden und in kleine zeitlich voneinander unabhängige Module zerlegt werden.
2. Bei kleinen Modulen die gemeinsam auf einen Zielbaustein abgebildet werden können, wird auf die zeitliche Unabhängigkeit verzichtet. Dadurch werden Konfigurationsschritte eingespart und die Datenverarbeitung beschleunigt.
3. Die Umkonfigurationszeitpunkte werden entsprechend der Ressourcen der Zielbausteine positioniert. Dadurch ist eine beliebige Skalierung der Graphenlänge gegeben.
4. Module können überlagert konfiguriert werden.
5. Die Umkonfiguration von Modulen wird durch die Daten selbst oder dem Ergebnis der Verarbeitung der Daten gesteuert.
6. Die von den Modulen generierten Daten werden gespeichert und die zeitlich nachfolgenden Module lesen die Daten aus

72  
diesem Speicher aus und speichern die Ergebnisse wiederum in einen Speicher oder geben das Endergebnis an die Peripherie aus.

### Virtual Machine Modell

Die Grundlagen der Datenverarbeitung mit VPU-Bausteinen sind entsprechend der vorhergehenden Abschnitte hauptsächlich datenflußorientiert. Um sequentielle Programme mit ordentlicher Leistung abzuarbeiten, ist es jedoch notwendig ein sequentielles Datenverarbeitungsmodell zur Verfügung zu haben. Dabei sind oftmals die Sequenzer in den einzelnen PAEs nicht ausreichend.

Die Architektur von VPUs ermöglicht jedoch grundsätzlich den Aufbau von beliebig komplexen Sequenzern aus einzelnen PAEs. Das bedeutet:

1. Es können komplexe Sequenzer konfiguriert werden, die exakt den Anforderungen des Algorithmus entsprechen.
2. Der Datenfluß kann wie bereits ausführlich diskutiert, exakt die Rechenschritte des Algorithmus repräsentieren.

Dadurch kann eine Virtuelle Maschine auf VPUs implementiert werden, die insbesondere auch den sequentiellen Anforderungen eines Algorithmus entspricht.

Hauptvorteil der VPU-Architektur ist, daß ein Algorithmus durch einen Compiler so zerteilt werden kann, daß die Datenflußteile extrahiert werden durch einen "optimalen" Datenfluß repräsentiert werden, indem ein angepaßter Datenfluß konfiguriert wird UND die sequentiellen Teile des Algorithmus durch einen "optimalen" Sequenzer repräsentiert werden, indem ein angepaßter Sequenzer konfiguriert wird. Dabei können gleichzeitig mehrere Sequenzer und Datenflüsse auf einer VPU

73

untergebracht werden, ausschließlich abhängig von den zur Verfügung stehenden Ressourcen.

Durch die große Anzahl an PAEs entstehen im Betrieb innerhalb einer VPU sehr viele lokalen Zustände. Bei Taskwechseln oder Unterprogramm-Aufrufen (Interrupts) müssen diese Zustände gesichert werden (vgl. PUSH/POP bei Standardprozessoren). Dies ist jedoch aufgrund der Menge an Zuständen nicht sinnvoll möglich.

Um die Zustände auf eine handhabbare Menge zu reduzieren muß zwischen zwei Arten von Zuständen unterschieden werden:

1. Zustandsinformationen des Maschinenmodells (MACHINE-STATE). Diese Zustandsinformationen sind nur innerhalb der Abarbeitung eines bestimmten Modules gültig und werden auch nur lokal in den Sequenzern und Datenflußeinheiten dieses bestimmten Modules verwendet. D.h. diese MACHINE-STATES repräsentieren die Zustände, die in Prozessoren nach dem Stand der Technik verdeckt innerhalb der Hardware ablaufen, implizit in den Befehlen und den Verarbeitungsschritten sind und nach Ablauf eines Befehles keine weitere Information für nachfolgende Befehle beinhalten. Derartige Zustände brauchen nicht gesichert zu werden. Bedingung dafür ist, daß Interrupts nur nach kompletter Ausführung aller gerade aktiven Module durchgeführt werden. Stehen Interrupts zur Ausführung an, werden keine neuen Module geladen, sondern nur noch aktive abgearbeitet; ebenfalls werden den aktiven Modulen, soweit es der Algorithmus zuläßt keine neuen Operanden mehr zugeführt. Dadurch wird ein Modul zu einer atomaren nicht unterbrechbaren Einheit, vergleichbar mit einer Instruktion eines Prozessors nach dem Stand der Technik.

24

2. Zustände der Datenverarbeitung (DATA-STATE). Die datenbezogenen Zustände müssen beim Auftreten eines Interrupts entsprechend den Prozessormodellen nach dem Stand der Technik gesichert und in den Speicher geschrieben werden. Das sind bestimmte notwendige Register und Flags oder - entsprechend der Begriffe der VPU-Technologie - Trigger.

Bei den DATA-STATES kann die Handhabung je nach Algorithmus weiter vereinfacht werden. Zwei grundlegende Strategien werden im Folgenden näher erläutert:

1. Mitlaufen der Zustandsinformation

Dabei werden alle relevanten und zu einem späteren Zeitpunkt benötigten Zustandsinformationen von einem Modul zum nächsten übertragen, wie es in Pipelines oftmals standardmäßig implementiert ist. Die Zustandsinformationen werden dann zusammen mit den Daten implizit in einem Speicher abgelegt, sodaß die Zustände bei einem Abruf der Daten zugleich zur Verfügung stehen. Ein explizites Handhaben der Zustandsinformationen i.b. mittels PUSH und POP entfällt dadurch, was je nach Algorithmus einerseits zu einer wesentlichen Beschleunigung der Abarbeitung und andererseits zu einer vereinfachten Programmierung führt.

Die Zustandsinformation kann wahlweise entweder mit dem jeweiligen Datenpaket gespeichert werden, oder nur im Falle eines Interrupts gesichert und besonders gekennzeichnet werden.

2. Sichern der Reentry Adresse

Bei der Verarbeitung von großen Datenmengen, die in einem Speicher abgelegt sind, ist kann es sinnvoll sein die Adresse mindestens einer der Operanden des gerade verarbeiteten Datenpaketes mit dem Datenpaket zusammen durch die PAEs zu

75

leiten. Dabei wird die Adresse nicht modifiziert sondern steht beim Schreiben des Datenpaketes in ein RAM als Pointer auf den letzten verarbeiteten Operanden zur Verfügung. Dieser Pointer kann wahlweise entweder mit dem jeweiligen Datenpaket gespeichert werden, oder nur im Falle eines Interrupts gesichert und besonders gekennzeichnet werden. Insbesondere, wenn sämtliche Pointer auf die Operanden durch eine Adresse (oder eine Gruppe von Adressen) berechnet werden können ist es sinnvoll nur eine Adresse (oder eine Gruppe von Adressen) zu sichern.

#### "ULIW"- "UCISC"-Modell

Für das Verständnis dieses (einem Prozessor nach dem Stand der Technik sehr ähnlichen) Modells ist eine Erweiterung der Betrachtungsweise der Architektur von VPUs erforderlich. Dabei dient das Virtual-Machine Modell als Grundlage.

Das Array aus PAEs (PA) wird als in ihrer Architektur konfigurierbare Recheneinheit betrachtet. Der/die CM(s) stellen eine Ladeeinheit (LOAD-UNIT) für Opcodes dar. Die IOAG(s) übernehmen das Businterface und/oder den Registersatz.

Diese Anordnung ermöglicht zwei grundsätzliche Funktionsweisen, die im Betrieb gemischt verwendbar sind:

1. Eine Gruppe von PAEs (das kann auch eine PAE sein) wird zur Ausführung eines komplexen Befehls oder Befehlsfolge konfiguriert und danach werden die auf diesen Befehl bezogenen Daten (das kann auch ein einziges Datenwort sein) verarbeitet. Danach wird diese Gruppe umkonfiguriert, zur Abarbeitung des nächsten Befehles. Dabei kann sich die Größe und Anordnung der Gruppe ändern. Gemäß den bereits besprochenen Partitionierungstechnologien obliegt es dem Compiler, möglichst optimale Gruppen zu schaffen. Durch den CM werden

76

Gruppen als Befehle auf den Baustein "geladen", dadurch ist des Verfahren mit dem bekannten VLIW vergleichbar, nur daß erheblich mehr Rechenwerke verwaltet werden UND die Vernetzungsstruktur zwischen den Rechenwerken ebenfalls vom Instruktionswort abgedeckt werden kann (Ultra Large Instruction Word = "ULIW"). Ein Instruktionswort entspricht dabei einem Modul. Mehrere Module können gleichzeitig verarbeitet werden, sofern es die Abhängigkeit der Daten zuläßt und genügend Ressourcen auf dem Baustein frei sind. Wie bei VLIW-Befehlen wird für gewöhnlich nach Ausführen des Instruktionswortes sofort das nächste Instruktionswort geladen. Zur zeitlichen Optimierung ist es dabei möglich das nächste Instruktionswort bereits während der Ausführung vorzuladen (vgl. Fig. 10). Bei mehreren möglichen nächsten Instruktionswörtern können mehrere vorgeladen werden und vor der Ausführung wird z.B. durch ein Triggersignal das korrekte Instruktionswort ausgewählt. BEISPIEL MIT IF..ELSE ZEICHNEN!

2. Eine Gruppe von PAEs (das kann auch eine "PAE" sein) wird zur Ausführung einer häufig gebrauchten Befehlsfolge konfiguriert. Die Daten, das kann auch hier ein einzelnes Datenwort sein, werden bei Bedarf der Gruppe zugeführt und von der Gruppe empfangen. Diese Gruppe bleibt über eine Vielzahl von Takten ohne Umkonfiguration bestehen. Vergleichbar ist diese Anordnung mit einem speziellen Rechenwerk in einem Prozessor nach dem Stand der Technik (z.B. MMX), das für Spezialaufgaben vorgesehen ist und nur bei Bedarf verwendet wird. Durch diesen Ansatz sind Spezialbefehle entsprechend des CISC-Prinzipes generierbar, mit dem Vorteil, daß diese Befehle anwendungsspezifisch geschaffen werden können (Ultra-CISC = "UCISC").



17

Erweiterung des RDY/ACK-Protokolls (vgl. PACT02)

In PACT02 ist ein RDY/ACK-Standardprotokoll beschrieben, das die wesentlichen Anforderungen gemäß den Synchronisationen von DE 44 16 881 in Hinblick auf eine typische Datenflußapplikation beschreibt. Nachteil des Protokolls ist, daß lediglich Daten gesendet und der Empfang bestätigt werden kann. Der umgekehrte Fall, indem Daten angefordert werden und das Versenden bestätigt wird (im Folgenden REQ/ACK genannt, ist zwar elektrisch mit demselben Zweidrahtprotokoll lösbar, jedoch semantisch nicht erfaßt. Das gilt insbesondere, wenn REQ/ACK und RDY/ACK gemischt betrieben werden.

Daher wird die klare Unterscheidung der Protokolle eingeführt:

RDY: Daten liegen beim Versender für den Empfänger bereit

REQ: Daten werden vom Empfänger beim Versender angefordert

ACK: Allgemeine Bestätigung für erfolgten Empfang oder Versand

(Prinzipiell könnten auch zwischen ACK für ein RDY und einem ACK für ein REQ unterschieden werden, jedoch ist in den Protokollen die Semantik des ACKs für gewöhnlich implizit).

### Speichermodell

In VPU's können Speicher integriert werden (einer oder mehrere), die ähnlich einer PAE angesprochen werden. Es wird im folgenden ein Speichermodell beschrieben, das gleichzeitig ein Interface zu externer Peripherie und/oder externem Speicher darstellt:

Ein VPU-interner Speicher mit PAE-ähnlichen Busfunktionen kann verschiedene Speichermodi darstellen:

1. Standardspeicher
2. Lookup-Tabelle
3. FIFO
4. LIFO

78

Dem Speicher ist ein steuerbares Interface zugeordnet, das Speicherbereiche wahlweise wort- oder blockweise schreibt oder liest.

Dadurch ergeben sich folgende Nutzungsmöglichkeiten:

1. Entkopplung von Datenströmen (FIFO)
2. Schneller Zugriff auf selektierte Speicherbereiche eines externen Speichers, was eine Cacheähnliche Funktion darstellt (Standardspeicher, Lookup-Tabelle)
3. Stack mit variierbarer Tiefe (LIFO)

Dabei kann das Interface benutzt werden, es ist jedoch nicht zwingend notwendig, wenn die Daten z.B. ausschließlich lokal in der VPU verwendet werden und der Speicherplatz eines internen Speichers ausreicht.

Stack Modell Durch Verwendung des REQ/ACK-Protokolls und der internen Speicher im LIFO-Modus kann ein einfacher Stack-Prozessor aufgebaut werden. Dabei werden temporäre Daten von den PAEs auf den Stack geschrieben und bei Bedarf von dem Stack geladen. Die hierfür notwendigen Compilertechnologien sind hinreichend bekannt. Durch die variierbare Stacktiefe, die durch einen Datenaustausch des internen Speicher mit einem externen Speicher erreicht wird, kann der Stack beliebig groß werden.

Akkumulator Modell Jede PAE kann eine Recheneinheit nach dem Akkumulatorprinzip darstellen. Wie aus PACT02 bekannt ist es möglich die Ausgangsregister auf den Eingang der PAE rückzukoppeln. In Dadurch entsteht ein Akkumulator nach dem

19  
Stand der Technik. In Verbindung mit dem Sequenzer nach Fig. 11 lassen sich einfache Akkumulator-Prozessoren aufbauen.

### Register Modell

Durch Verwendung des REQ/ACK-Protokolls und der internen Speicher im Standardspeicher-Modus kann ein einfacher Register-Prozessor aufgebaut werden. Dabei werden die Registeradressen von einer Gruppe von PAEs generiert, während eine andere Gruppe von PAEs die Verarbeitung der Daten übernimmt.

Die verwendeten Maschinenmodell können innerhalb einer VPU beliebig kombiniert werden. Auch innerhalb eines Algorithmus kann je nach dem, welches Modell optimal ist, zwischen den Modellen gewechselt werden.

Wird einem Register-Prozessor ein weiterer Speicher zugefügt, von dem die Operanden gelesen werden und in den die Ergebnisse geschrieben werden, kann eine Load/Store-Prozessor aufgebaut werden. Dabei können mehrere verschiedene Speicher zugeordnet werden, indem die einzelnen Operanden und das Ergebnis getrennt behandelt wird.

Diese Speicher arbeiten dann quasi als Load/Store-Einheit und stellen eine Art Cache für den externen Speicher dar. Die Adressen werden durch von der Datenverarbeitung separierte PAEs berechnet.

### Pointer Reordering

Hochsprachen wie C/C++ verwenden häufig Pointer, die sehr schlecht durch Pipelines gehandhabt werden können. Wenn ein Pointer erst direkt vor dem Verwenden der Datenstrukturen auf

20

die er zeigt, berechnet wird, kann häufig die Pipeline nicht schnell genug gefüllt werden und die Verarbeitung wird speziell in VPUs ineffizient.

Sicherlich ist es sinnvoll bei der Programmierung von VPUs möglichst keine Pointer zu verwenden, jedoch ist das oftmals nicht möglich.

Die Lösung ist, die Pointerstrukturen durch den Compiler so umzusortieren, daß die Pointeradressen möglichst lange vor deren Verwendung berechnet werden. Gleichzeitig sollte es möglichst wenig direkte Abhängigkeiten zwischen einem Pointer und den Daten auf die er zeigt geben.

### Figuren

In Fig. 4a sind einige grundlegenden Eigenschaften des erfindungsgemäßen Verfahrens dargestellt:

Die Module des Types A sind zu einer Gruppe zusammengefaßt und besitzen am Ende einen bedingten Sprung, entweder nach B1 oder B2. An dieser Position (0401) ist ein Umkonfigurationspunkt eingefügt, da es sinnvoll ist die Zweige des bedingten Sprunges als jeweils eine Gruppe zu betrachten (Fall 1). Würden dagegen beide Zweige von B (B1 und B2) zusätzlich zusammen mit A auf den Zielbaustein passen (Fall 2), wäre es sinnvoll nur einen Umkonfigurationspunkt bei 0402 einzufügen, da dadurch die Zahl der Konfigurationen verringert wird und sich die Verarbeitungsgeschwindigkeit erhöht. Beide Zweige (B1 und B2) springen bei 0402 nach C.

Die Konfiguration der Zellen auf dem Zielbaustein ist in Fig. 4b schematisch dargestellt. Dabei werden die Funktionen der einzelnen Graphenknoten auf die Zellen des Zielbausteins abgebildet. Jeweils eine Zeile stellt eine Konfiguration dar. Die gestrichelten Pfeile bei einem Zeilenwechsel zeigen eine Umkonfiguration an.  $S_n$  ist eine datenspeichernde Zelle, von

21

beliebiger Ausgestaltung (Register, Speicher, etc.). Dabei ist  $S_n I$  ein Speicher, der Daten entgegennimmt und  $S_n O$  ein Speicher der Daten ausgibt. Der Speicher  $S_n$  ist für gleiche  $n$  jeweils derselbe,  $I$  und  $O$  kennzeichnen die Datentransferrichtung.

Beide Fälle des bedingten Sprunges (Fall 1, Fall 2) sind dargestellt.

Das Modell in Fig. 4 entspricht einem Datenflußmodell, jedoch mit der wesentlichen Erweiterung des Umkonfigurationspunkts und der damit erreichbaren Partitionierung des Graphen, wobei die zwischen den Partitionen übertragenen Daten zwischengespeichert werden.

Im Modell von Fig. 5a wird aus einer beliebigen Graphenmenge und -Konstellation (0501) selektiv ein Graph  $B_n$  aus einer Menge von Graphen  $B$  aufgerufen. Nach der Ausführung von  $B$  gelangen die Daten nach 0501 zurück.

Wird in 0501 ein ausreichend großer Sequencer (A) implementiert, ist mit dem Modell ein den typischen Prozessoren sehr ähnliches Prinzip implementierbar. Dabei gelangen

1. Daten in den Sequencer A, die dieser als Befehle dekodiert und entsprechend dem "von Neumann"-Prinzip darauf reagiert;
2. Daten in den Sequencer A, die als Daten betrachtet werden und an ein fest konfiguriertes Rechenwerk C zur Berechnung weitergeleitet werden.

Der Graph  $B$  stellt selektierbar ein besonderes Rechenwerke und/oder besondere Opcodes für bestimmte Funktionen zur Verfügung und wird alternativ zur Beschleunigung von C verwendet. Beispielsweise kann  $B1$  ein optimierter Algorithmus zu Berechnung von Matrixmultiplikationen sein, während  $B2$

einen FIR-Filter und B3 eine Mustererkennung darstellt. Entsprechend eines Opcodes der von 0501 dekodiert wird, wird der geeignete bzw. entsprechende Graph B aufgerufen.

Fig. 5b schematisiert die Abbildung auf die einzelnen Zellen, wobei in 0502 der pipelineartige Rechenwerks-Character symbolisiert wird.

Während in den Umkonfigurationspunkten von Fig. 4 vorzugsweise größere Speicher zum Zwischenspeichern der Daten eingefügt werden, ist eine einfache Synchronisation der Daten in den Umkonfigurationspunkten von Fig. 5 ausreichend, da der Datenstrom vorzugsweise als ganzer durch den Graphen B läuft und der Graph B nicht weiter partitioniert ist; dadurch ist das Zwischenspeichern der Daten überflüssig.

In Fig. 6a sind verschiedene Schleifen dargestellt. Schleifen können grundsätzlich auf drei Arten behandelt werden:

1. Hardware-Ansatz: Schleifen werden vollständig ausgewalzt auf die Zielhardware abgebildet (0601a/b). Wie bereits erläutert ist dies nur bei wenigen Schleifenarten möglich.
2. Datenfluß-Ansatz: Innerhalb des Datenflusses werden Schleifen über mehrere Zellen hinweg aufgebaut (0602a/b). Das Ende der Schleife wird auf den Schleifenanfang rückgekoppelt.
3. Sequenzer-Ansatz: Ein Sequenzer mit minimalem Befehlssatz führt die Schleife aus (0603a/b). Dabei sind die Zellen der Zielbausteine so ausgestaltet, daß sie den entsprechenden Sequenzer beeinhalteten (vgl. Fig. 11a/b).

Durch eine geeignete Zerlegung von Schleifen kann deren Ausführung ggf. optimiert werden:

1. Unter Verwendung von Optimierungsmethoden nach dem Stand der Technik läßt sich häufig der Schleifenrumpf, also der

wiederholt auszuführende Teil, dadurch optimieren, daß bestimmte Operationen aus der Schleife entfernt werden und vor oder hinter die Schleife gestellt werden (0604a/b). Dadurch wird die Menge der zu sequencenden Befehle erheblich reduziert. Die entfernten Operationen werden nur einmal vor bzw. nach Ausführung der Schleife durchlaufen.

2. Eine weitere Optimierungsmöglichkeit ist das Teilen von Schleifen in mehrere kleinere oder kürzere Schleifen. Dabei findet die Teilung derart statt, daß mehrere parallele oder mehrere sequentielle (0605a/b) Schleifen entstehen.

Fig. 7 verdeutlicht die Implementierung einer Rekursion. Dabei werden dieselben Ressourcen (0701) in Form von Zellen für jede Rekursionsebene (1-3) verwendet. Die Ergebnisse einer jeden Rekursionsebene (1-3) werden beim Aufbau (0711:) in einen nach dem Stack-Prinzip aufgebauten Speicher (0702) geschrieben. Gleichzeitig mit dem Abbau (0712:) der Ebenen wird der Stack abgebaut.

In Fig. 14 wird das Virtual-Machine-Modell dargestellt. Aus einem externen Speicher werden Daten (1401) und zu den Daten gehörende Zustände (1402) in eine VPU (1403) gelesen.

1401/1402 werden über eine von der VPU generierte Adresse 1404 selektiert. Innerhalb der VPU sind PAEs zu unterschiedlichen Gruppen zusammengefaßt (1405, 1406, 1407). Jede Gruppe besitzt einen datenverarbeitenden Teil (1408), der lokale implizite Zustände (1409) besitzt, die keinen Einfluß auf die umliegenden Gruppen besitzt. Daher werden dessen Zustände nicht außerhalb der Gruppe weitergeleitet. Er kann jedoch von den externen Zuständen abhängig sein. Ein weiterer Teil (1410) generiert Zustände, die Einfluß auf die umliegenden Gruppen haben.

11-11-11 2000 00 11 24

Die Daten und Zustände der Ergebnisse werden in einen weiteren Speicher (1411, 1412) abgelegt. Gleichzeitig kann die Adresse von Operanden (14004) als Pointer gespeichert (1413) werden. Zur zeitliche Synchronisation kann 1404 über Register (1414) geführt werden.

In Fig. 14 ist zur Verdeutlichung ein einfaches Modell dargestellt. Die Vernetzung und Gruppierung kann wesentlich komplexer sein als in diesem Modell. Ebenfalls können Zustände und Daten auch an weitere Module als den Nachfolgenden übertragen werden. Es ist möglich, daß Daten an andere Module übertragen werden als die Zustände. Sowohl Daten als auch Zustände eines bestimmten Moduls können von mehreren unterschiedlichen Modulen empfangen werden. Innerhalb einer Gruppe kann 1408, 1409 und 1410 voranden sein. Abhängig vom Algorithmus können auch einzelne Teile fehlen (z.B. 1410 und 1409 vorhanden, 1410 jedoch nicht).

In Figur 15 ist dargestellt wie aus einem Verarbeitungsgraphen Teilapplikationen extrahiert werden. Dabei wird der Graph so zerlegt, daß lange Graphen sinnvoll zerteilt werden und in Teilapplikationen (H,A,C,K) abgebildet werden. Nach Sprüngen werden neue Teilgraphen gebildet (C,K) wobei für jeden Sprung ein getrennter Teilgraph gebildet wird.

Jeder Teilgraph ist in dem MULIW-Modell von der CM (vgl. PACT10) getrennt ladbar. Wesentlich ist, daß Teilgraphen durch die Mechanismen in PACT10 verwaltet werden können. Dazu gehört insbesondere das intelligente Konfigurieren, Ausführen/Starten und Löschen der Teilapplikationen.

1503 bewirkt das Konfigurieren von Teilapplikation A, während Teilapplikation K ausgeführt wird. Dadurch ist Teilapplikation A zum Ausführungsende von Teilapplikation K bereits komplett in die PAEs konfiguriert. 1504 startet die Ausführung von Teilapplikation K.



D.h. zur Laufzeit werden die nächsten benötigten Programmteile während der Abarbeitung der aktuellen Programmteile unabhängig geladen. Dadurch ergibt sich ein wesentlich effizienterer Umgang mit den Programmcode, als bei üblichen Cache-Mechanismen.

Bei Teilapplikationen A wird eine weitere Besonderheit dargestellt. Prinzipiell wäre es denkbar beide möglichen Zweige (C,K) des Vergleiches vorzukonfigurieren. Angenommen, die Zahl der zur Verfügung stehenden freien Konfigurationsregister reicht dazu nicht aus, wird der wahrscheinlichere der Zweige konfiguriert (1506). Das spart zudem Konfigurationszeit. Bei Ausführung des nicht konfigurierten Zweigs, wird (da die Konfiguration noch nicht in die Konfigurationsregister geladen ist) die Programmausführung unterbrochen, bis der Zweig konfiguriert ist.

Grundsätzlich ist es möglich auch nicht konfigurierte Teilapplikationen auszuführen (1505), diese müssen dann wie zuvor beschrieben vor der Ausführung geladen werden.

Das ULIW-Modell unterscheidet sich im Wesentlichen vom VLIW-Modell, indem es

1. Das Routing der Daten mit beinhaltet
2. Größere Instruktionswörter bildet.

Ebenfalls kann das beschriebene Verfahren der Partitionierung von Compilern für heutige Standardprozessoren nach dem RISC/CISC-Prinzip ebenso eingesetzt werden. Wird dann eine Einheit (CT) nach PACT10 zur Steuerung des Befehls-Caches verwendet, kann dieser erheblich optimiert und beschleunigt werden.

26

Dazu werden "normale" Programme entsprechend in Teilapplikationen partitioniert. Gemäß PACT10 werden Verweise auf mögliche nachfolgende Teilapplikationen eingeführt (1501, 1502). Dadurch kann eine CT die Teilapplikationen bereits in den Cache vorladen bevor sie benötigt werden. Bei Sprüngen wird nur die angesprungen Teilapplikation ausgeführt, die andere(n) werden später durch neue Teilapplikationen überschrieben. Neben dem intelligenten Vorladen hat das Verfahren den weiteren Vorteil, daß die Größe der Teilapplikationen beim Laden bereits bekannt ist. Dadurch können optimale Bursts beim Zugriff auf die Speicher von der CT ausgeführt werden, was den Speicherzugriff wiederum erheblich beschleunigt.

Figur 16 zeigt den Aufbau eines Stack-Prozessors. Durch das PAE-Array (1601) werden Protokolle generiert um auf einen als LIFO konfigurierten Speicher (1602) zu schreiben oder zu lesen. Dabei wird ein RDY/ACK-Protokoll zum Schreiben und REQ/ACK-Protokoll zum Lesen verwendet. Die Vernetzung und Betriebsmodi werden von der CT (1603) konfiguriert. 1602 kann dabei seinen Inhalt auf den externen Speicher (1604) auslagern.

Eine Reihe der PAEs sollen in diesem Beispiel als Register-Prozessor arbeiten (Figur 17). Jede PAE besteht aus einem Rechenwerk (1701) und einem Akkumulator (1702) auf den das Ergebnis von 1701 rückgekoppelt (1703) ist. Damit stellt in diesem Beispiel jede PAE einen Akkumulator-Prozessor dar. Eine PAE (1705) liest und schreibt die Daten in den als Standardspeicher konfigurierten RAM (1704). Eine weitere PAE (1706) generiert die Registeradressen. Oftmals ist es sinnvoll eine getrennt PAE zum Lesen der Daten zu verwenden. Dann würde 1705 nur schreiben und die PAE 1707

27

lesen. Dabei wird eine weitere PAE (1708, gestrichelt unterlegt) zum Generieren der Leseadressen einzuführen. Es ist nicht zwingend notwendig getrennte PAEs zum Generieren der Adressen zu verwenden. Oftmals sind die Register implizit und können dann als Konstanten konfiguriert werden von den datenverarbeitenden PAEs gesendet werden.

Die Verwendung von Akkumulator-Prozessoren für einen Register-Prozessor ist beispielhaft. Ebenso können zum Aufbau von Registerprozessoren PAEs ohne Akkumulator verwendet werden. Die in Figur 17 gezeigte Architektur kann zur Ansteuerung von Registern als auch zum Ansteuern einer Load/Store-Einheit dienen.

Bei der Verwendung als Load/Store-Einheit ist es fast zwingend notwendig einen externen RAM (1709) nachzuschalten, sodaß 1704 nur einen temporären Ausschnitt aus 1709, quasi als Cache, darstellt.

Auch bei der Verwendung von 1704 als Register-Bank ist es teilweise sinnvoll einen externen Speicher nachzuschalten. Dadurch können PUSH/POP Operationen nach dem Stand der Technik durchgeführt werden, die den Registerinhalt in einen Speicher schreiben oder aus diesem Lesen.

In Figur 18 ist als Beispiel eine komplexe Maschine abgebildet bei der das PAE-Array (1801) einerseits einen Load/Store-Einheit (1802) mit nachgeschaltetem RAM (1803) ansteuert und gleichzeitig eine Register-Bank (1804) mit nachgeschaltetem RAM (1805) aufweist. 1802 und 1804 können jeweils von einer PAE oder einer beliebigen Gruppe von PAEs angesteuert werden. Die Einheit wird gemäß dem VPU-Prinzip von einer CT (1806) gesteuert.

Wichtig ist, daß zwischen der Load/Store-Einheit (1802) und der Register-Bank (1804) und deren Ansteuerung kein wesentlicher Unterschied besteht.

28

Die Figuren 19,20,21 zeigen einen erfindungsgemäßen internen Speicher, der zugleich eine Kommunikationseinheit mit externen Speichern und/oder Peripherie darstellt. Die einzelnen Figuren zeigen unterschiedliche Betriebsarten desselben Speichers. Die Betriebsarten, sowie einzelne Detaileinstellungen werden dabei konfiguriert.

Figur 19a zeigt einen erfindungsgemäßen Speicher im "Register/Cache" Modus. Im erfindungsgemäßen Speicher (1901) sind Datenworte eines für gewöhnlich größeren und langsameren externen Speichers (1902) abgelegt.

Der Datenaustausch zwischen 1901, 1902 und den über einen Bus (1903) angeschlossenen PAEs (nicht dargestellt) findet dabei wie folgt statt, wobei unter zwei Betriebsarten unterschieden wird:

A) Die von den PAEs von dem Hauptspeicher 1902 gelesenen oder gesendeten Daten werden in 1901 mittels eines Cache-Verfahrens gepuffert. Dabei kann jedes bekannte Cache-Verfahren zum Einsatz kommen.

B) Mittels einer Load/Store-Einheit werden die Daten bestimmter Adressen zwischen 1902 und 1901 übertragen. Dabei werden bestimmte Adressen, sowohl in 1902 als auch in 1901 vorgegeben, wobei für 1902 und 1901 gewöhnlicherweise unterschiedliche Adressen verwendet werden. Die einzelnen Adressen können dabei durch Konstante oder durch Berechnungen in PAEs erzeugt werden. In dieser Betriebsart arbeitet der Speicher 1901 als Registerbank.

Die Zuordnung der Adressen zwischen 1901 und 1902 kann dabei beliebig sein und hängt lediglich von den jeweiligen Algorithmen der beiden Betriebsarten ab.

In 19b ist die entsprechende Maschine als Blockdiagramm dargestellt. Dem Bus zwischen 1901 und 1902 ist eine

2c

Steuereinheit (1904) zugeordnet, die je nach Betriebsart als Load/Store-Einheit (nach dem Stand der Technik) oder als Cache-Kontroller (nach dem Stand der Technik) agiert. Dieser Einheit kann bei Bedarf eine Speicherverwaltungseinheit (MMU) (1905) mit Adressübersetzung und -überprüfung zugeordnet werden. Sowohl 1904 als auch 1905 kann von den PAEs angesteuert werden. So wird beispielsweise die MMU programmiert, die Load/Store Adressen gesetzt oder ein Cache-Flush ausgelöst.

Figur 20 zeigt den Einsatz des Speichers (2001) im FIFO-Modus, in welchem nach dem bekannten FIFO-Prinzip Datenströme entkoppelt werden. Der typische Einsatz ist in einem Schreib- (2001a) oder Leseinterface (2001b). Dabei werden Daten zwischen den PAEs, die an dem internen Bussystem (2002) angeschlossen sind und dem Peripheriebus (2003) zeitlich entkoppelt.

Zur Steuerung des FIFOs ist eine Einheit (2004) vorgesehen, die den Schreib- und Lesezeiger des FIFOs abhängig von den Busoperationen von 2003 und 2002 steuert.

In Figur 21 ist das Arbeitsprinzip der erfindungsgemäßen Speicher im Stack-Modus dargestellt. Ein Stack ist (nach dem Stand der Technik) ein Stapelspeicher, dessen oberstes/unterstes Element das gerade Aktive ist. Daten werden immer oben/unten angefügt, ebenso werden die Daten oben/unten entfernt. D.h. das zuletzt geschriebene Datum ist auch das, welches zuerst gelesen wird (Last In First Out). Ob ein Stack nach oben oder unten wächst, ist unbedeutend und implementierungsabhängig. Im folgenden Ausführungsbeispiel werden Stacks betrachtet, die nach oben wachsen.

36

Dabei sind die aktuellsten Daten im internen Speicher 2101 gehalten, der aktuellste Eintrag (2107) befindet sich ganz oben in 2101. Alte Einträge sind auf den externen Speicher 2102 ausgelagert. Wächst der Stack weiter, reicht der Platz im internen Speicher 2101 nicht mehr aus. Bei Erreichen einer bestimmten Datenmenge, die durch eine (frei wählbare) Adresse in 2101 oder einen (frei wählbaren) Wert in einem Eintragszähler repräsentiert sein kann, wird ein Teil von 2101 als Block an das aktuellere Ende (2103) des Stacks in 2102 geschrieben. Dieser Teil sind die ältesten und somit am wenigsten aktuellen Daten (2104). Danach werden die verbleibenden Daten in 2101 so verschoben, daß die nach 2102 kopierten Daten in 2101 mit den verbleibenden Daten (2105) überschrieben werden und somit genügend freier Speicher (2106) für neue Stackeinträge entsteht.

Nimmt der Stack ab, werden ab einem gewissen (frei wählbaren) Punkt die Daten in 2101 so verschoben, daß hinter den ältesten und unaktuellsten Daten freier Speicher entsteht. In den freigewordenen Speicher wird ein Speicherblock aus 2102 kopiert, der dann in 2102 gelöscht wird.

Mit anderen Worten repräsentieren 2101 und 2102 einen einzigen Stack, wobei die gerade aktuellen Einträge in 2101 liegen und die älteren und weniger aktuellen in 2102 ausgelagert sind.

Quasi stellt das Verfahren einen Cache für Stacks dar. Da die Datenblöcke vorzugsweise per Blockoperationen übertragen werden, kann der Datentransfer zwischen 2101 und 2102 in den schnellen Burst-Betriebsarten moderner Speicher (SDRAM, RAMBUS, etc.) ausgeführt werden.

Es soll nochmals erwähnt werden, daß im Ausführungsbeispiel in Fig. 21 der Stack nach oben wächst. Sollte der Stack nach unten wachsen (eine häufig verwendete Methode), sind die Positionen oben/unten und die Richtungen in die die Daten innerhalb eines Speichers bewegt werden genau vertauscht.

11-M N 2000 00 01

3

Sinnvollerweise wird der interne Stack 2101 als eine Art Ringspeicher ausgestaltet. Die Daten an einem Ende des Ringes werden zwischen PAEs und 2101 übertragen und am anderen Ende des Ringes zwischen 2101 und 2102. Dadurch entsteht der Vorteil, daß einfach Daten zwischen 2101 und 2102 verschoben werden können, ohne Einfluß auf die internen Adressen in 2101 zu haben. Lediglich die Positionszeiger der unteren und oberen Daten und der Füllstandszähler müssen jeweils angepaßt werden. Die Datenübertragung zwischen 2101 und 2102 kann durch die bekannten Ringspeicher-Flags "beinahe voll (almost full) / voll (full)" und "beinahe leer (almost empty) / leer (empty)" ausgelöst werden.

Die notwendige Hardware ist als Blockschaltbild in Fig 21b dargestellt. Dem internen Stack 2101 ist eine Einheit (2110) zur Verwaltung der Zeiger und Zähler zugeordnet. In den Bus (2114) zwischen 2101 und 2102 ist eine Einheit (2111) zur Steuerung der Datentransfers eingeschleift. Dieser Einheit kann eine MMU (2112) nach dem Stand der Technik mit den entsprechenden Prüfsystemen und Adressübersetzungen zugeordnet werden.

Die Verbindung zwischen den PAEs und 2101 wird über das Bussystem 2113 realisiert.

In Figur 22 ist ein Beispiel für das Umsortieren von Graphen gezeigt. Die linke Spalte (22..a) zeigt eine unoptimierte Anordnung von Befehlen. Dabei werden die Pointer A (2207a) und B (2211a) geladen. Jeweils bereits einen Takt später werden die Werte der Pointer benötigt (2208a, 2212a). Diese Abhängigkeit ist zu kurz um effizient ausgeführt zu werden, da zum Laden aus dem Speicher eine bestimmte Zeit (2220a, 2221a) benötigt wird. Durch umsordieren der Befehle (22..b) werden

32

die Zeiträume maximal vergrößert (2220b, 2221b). Obwohl in 2210 und in 2208 der Wert des Pointers von A benötigt wird, wird 2208 nach 2210 einsortiert, da dadurch mehr Zeit zur Berechnung von B gewonnen wird. Es ist möglich Berechnungen die von den Pointern unabhängig sind (2203, 2204, 2206) beispielsweise zwischen 2211 und 2212 einzufügen um mehr Zeit für die Speicherzugriffe zu erhalten. Ein Compiler oder Assembler kann hier anhand von Systemparametern, die die Zugriffzeiten repräsentieren, die entsprechende Optimierung vornehmen.

Figur 23 zeigt einen Sonderfall der Figuren 4-7. Häufig besteht ein Algorithmus, auch innerhalb von Schleifen, aus Datenflußteilen und sequentiellen Teilen. Derartige Strukturen können gemäß dem beschriebenen Verfahren unter Einsatz des in PACT07 beschriebenen Bussystems effizient aufgebaut werden. Hierzu wird das RDY/ACK-Protokoll des Bussystems zunächst um das erfindungsgemäße REQ/ACK-Protokoll erweitert. Dadurch können gezielt Registerinhalte einzelner PAEs von einer oder mehreren anderen PAEs oder von der CT abgefragt werden. Eine Schleife (2305) wird nun in mindestens zwei Graphen zerlegt, einen ersten (2301), der den Datenflußanteil repräsentiert und einen zweiten (2302), der den sequentiellen Anteil abbildet.

Ein bedingter Sprung wählt zwischen den beiden Graphen. Das besondere ist nun, daß 2302 den internen Zustand von 2301 kennen zur Ausführung benötigt und umgekehrt 2301 den Zustand von 2302 kennen muß.

Dies wird realisiert, indem der Zustand genau einmal, nämlich in den Registern der PAEs des performanteren Datenflußgraphen (2301) gespeichert wird.

Wird in 2302 gesprungen, liest der Sequenzer bei Bedarf die Zustände der jeweiligen Register mittels des Bussystems aus



35

PACT07 aus (2303). Der Sequenzer führt seine Operationen aus und schreibt alle geänderten Zustände in die Register (wiederum über das Bussystem nach PACT07) zurück (2304). Abschließend soll angemerkt werden, daß es sich bei den besprochenen Graphen nicht unbedingt um enge Schleifen (2305) handeln muß. Das Verfahren ist generell auf jeden Teilalgorithmus verwendbar, der innerhalb eines Programmablaufes mehrfach ausgeführt wird (reentrant) und wahlweise entweder sequentiell oder parallel (datenflußartig) abgearbeitet wird, wobei die Zustände zwischen dem sequentiellen und dem parallelen Teil transferiert werden müssen.

Die Waverekonfigurierung bietet erhebliche Vorteile bei der Geschwindigkeit der Umkonfiguration, insbesondere bei einfachen sequentiellen Operationen.

In Figur 24 sind die Auswirkungen zeitlich dargestellt. Einfach schraffierte Flächen stellen datenverarbeitende PAEs dar, wobei 2401 PAEs nach der Umkonfiguration und 2403 PAEs vor der Umkonfiguration zeigen. Doppelt schraffierte Flächen (2402) zeigen PAEs die gerade umkonfiguriert werden oder auf die Umkonfiguration warten.

Figur 24a zeigt den Einfluß der Wave-Rekonfigurierung auf einen einfachen sequentiellen Algorithmus. Hier ist es möglich exakt die PAEs umzukonfigurieren, denen eine neue Aufgabe zugeteilt wird. Da in jedem Takt eine PAE eine neue Aufgabe erhält kann dies effizient, nämlich zeitgleich durchgeführt werden.

Beispielsweise dargestellt ist eine Reihe von PAEs aus der Matrix aller PAEs einer VPU. Angegeben sind die Zustände in den Takten nach Takt  $t$  mit jeweils einem Takt Verzögerung.

In Figur 24b ist die zeitliche Auswirkung der Umkonfiguration von großen Teilen dargestellt. Beispielsweise dargestellt ist eine Menge von PAEs einer VPU. Angegeben sind die Zustände in den Takten nach Takt  $t$  mit einer unterschiedlichen Verzögerung von jeweils mehreren Takten.

Während zunächst nur ein kleiner Teil der PAEs umkonfiguriert wird oder auf die Umkonfiguration wartet, wird diese Fläche mit zunehmender Zeit größer, bis alle PAEs umkonfiguriert sind. Das größer werden der Fläche bedeutet, daß, bedingt durch die zeitliche Verzögerung der Umkonfiguration immer mehr PAEs auf die Umkonfiguration warten (2402). Dadurch geht Rechenleistung verloren.

Es wird daher vorgeschlagen ein breiteres Bussystem zwischen der CT (insbesondere des Speichers der CT) und den PAEs einzusetzen, das genügend Leitungen zur Verfügung stellt, um innerhalb eines Taktes mehrere PAEs zugleich umzukonfigurieren.

Figur 25 verdeutlicht die Skalierbarkeit der VPU-Technologie. Die Skalierbarkeit geht im Wesentlichen aus dem Ausrollen eines Graphens hervor, ohne daß eine zeitliche Abfolge einzelne Teilapplikationen trennt. Als Beispiel ist der Algorithmus aus Figur 4 gewählt. In Figur 25a werden die einzelnen Teilgraphen zeitlich nacheinander auf die VPU übertragen, wobei entweder  $B_1$  oder  $B_2$  geladen wird. In Figur 25b werden alle Teilgraphen auf eine Menge von VPUs übertragen und mit Bussystemen untereinander verbunden. Dadurch können große Datenmengen ohne den negativen Einfluß des Umkonfigurierens leistungsfähig abgearbeitet werden.

### Programmierbeispiele

Ein Modul kann beispielsweise folgendermaßen deklariert werden:

```

module example1
  input  (var1, var2 : ty1; var3 : ty2).
  output (res1, res2 : ty3).
  begin
    ...
    register <regname1> (res1).
    register <regname2> (res2).
    terminate (res1 & res2; 1).
  end.

```

**module** kennzeichnet den Beginn eines Modules.

**input/output** definiert die Ein-/Ausgangsvariablen mit den Typen ty<sub>n</sub>.

**begin ... end** markieren den Rumpf des Modules.

**register** <regname1/2> übergibt das Ergebnis an den Output, wobei das Ergebnis in dem durch <regname1/2> spezifizierten Register zwischengespeichert wird. <regname1/2> ist dabei eine globale Referenz auf ein bestimmtes Register.

Als weitere Übergabemodi an den Output stehen beispielsweise folgende Speicherarten zur Verfügung:

**fifo** <fifoname>, wobei die Daten an einen nach dem FIFO-Prinzip arbeitenden Speicher übergeben werden. <fifoname> ist dabei eine globale Referenz auf einen bestimmten, im FIFO-Modus arbeitenden Speicher. **terminate** wird dabei um den Parameter bzw. das Signal "fifofull" erweitert, der/das anzeigt, daß der Speicher voll ist.

**stack** <stackname>, wobei die Daten an einen nach dem Stack-Prinzip arbeitenden Speicher übergeben werden. <stackname> ist

dabei eine globale Referenz auf einen bestimmten, im Stack-Modus arbeitenden Speicher.

**terminate@** unterscheidet die Programmierung entsprechend des erfindungsgemäßen Verfahrens von der herkömmlichen sequentiellen Programmierung. Der Befehl definiert das Abbruchkriterium des Modules. Die Ergebnisvariablen **res1** und **res2** werden von **terminate@** nicht mit ihrem tatsächlichen Wert evaluiert, statt dessen wird nur die Gültigkeit der Variablen (also deren Statussignal) geprüft. Dazu werden die beiden Signale **res1** und **res2** boolsch miteinander verknüpft, z.B. durch eine UND-, ODER- oder XOR-Operation. Sind beide Variablen gültig, terminiert das Modul mit dem Wert 1. Das bedeutet, ein Signal mit dem Wert 1 wird an die übergeordneten Ladeeinheit weitergeleitet, woraufhin die übergeordneten Ladeeinheit das nachfolgende Module lädt.

```

module example2
  input  (var1, var2 : ty3; var3 : ty2).
  output (res1 : ty4).
  begin
    register <regname1> (var1, var2).
    ...
    fifo <fifoname1> (res1, 256).
    terminate@ (fifofull(<fifoname1>); 1).
  end.

```

**register** wird in diesem Beispiel über input-Daten definiert. Dabei ist <regname1> derselbe wie in example1. Dies bewirkt, daß das Register, das die output-Daten in example1 aufnimmt, die input-Daten für example2 zur Verfügung stellt.

37

**fifo** definiert einen FIFO-Speicher der Tiefe 256 für die Ausgangsdaten **res1**. Das Full-Flag (**fifofull**) des FIFO-Speichers wird in **terminate@** als Abbruchkriterium verwendet.

```
module main
input  (in1, in2 : ty1; in3 : ty2).
output (out1 : ty4).
begin
define <regname1> : register(234).
define <regname2> : register(26).
define <fifoname1> : fifo(256,4). // FIFO Tiefe 256
...
(var12, var72) = call example1 (in1, in2, in3).
...

(out1) = call example2 (var12, var72, var243).
...
signal (out1).
terminate@ (example2).
end.
```

**define** definiert eine Schnittstelle für Daten (Register, Speicher, etc). Bei der Definition werden die erforderlichen Ressourcen, sowie die Bezeichnung der Schnittstelle angegeben. Da die Ressourcen jeweils nur einmal zur Verfügung stehen, müssen sie eindeutig angegeben werden. Damit ist die Definition global, d.h. die Bezeichnung gilt für das gesamte Programm.

**call** ruft ein Modul als Unterprogramm auf.

signal definiert ein Signal als Ausgangssignal, ohne daß eine Zwischenspeicherung verwendet wird.

Durch `terminate` (example2) wird das Modul main terminiert, sobald das Unterprogramm example2 terminiert.

Durch die globale Deklaration "define ..." ist es prinzipiell nicht mehr notwendig, die so definierten input/output Signale in die Schnittstellen-Deklaration der Module aufzunehmen.

### Die Zustandsinformationen des Prozessormodells

Zur Bestimmung der Zustände innerhalb eines Graphen werden die Statusregister der einzelnen Zellen (PAEs) über ein zusätzlich zum Datenbus (0801) existierendes, frei rout- und segmentierbares Status-Bussystem (0802) allen anderen Rechenwerken zur Verfügung gestellt (Fig. 8b). Das bedeutet, daß eine Zelle (PAE X) die Statusinformation einer andern Zelle (PAE Y) evaluieren kann und dementsprechend die Daten verarbeitet. Um den Unterschied zu bestehenden Parallelrechnersystemen zu verdeutlichen, ist in Fig. 8a der Stand der Technik angegeben. Dabei ist ein Multiprozessorsystem gezeigt, dessen Prozessoren über einen gemeinsamen Datenbus (0803) miteinander verbunden sind. Ein explizites Bussystem für den synchronen Austausch von Daten und Status existiert nicht.

Mit anderen Worten ausgedrückt, stellt das Netzwerk der Statussignale (0802) ein frei und gezielt verteiltes Statusregister eines einzelnen herkömmlichen Prozessors (oder mehrerer Prozessoren eines SMP-Computers) dar. Der Status jeder einzelnen ALU (bzw. jedes einzelnen Prozessors) und insbesondere jede einzelne Information des Status steht jeweils dem oder den ALUS (Prozessoren) zur Verfügung, die die Information benötigen. Dabei entsteht keine zusätzliche

39

Programm oder Kommunikationslaufzeit (abgesehen von den Signallaufzeiten) um die Informationen zwischen den ALUs (Prozessoren) auszutauschen.

Abschließend soll angemerkt werden, daß je nach Aufgabe sowohl der Datenflußgraph, als auch der Kontrollflußgraph entsprechend dem beschriebenen Verfahren behandelt werden kann.

**Erweiterungen in der Hardware gegenüber P196 51 075.9 und P196 54 846.2**

Durch P196 51 075.9 und P196 54 846.2 ist der Stand der Technik in Bezug auf die Konfigurationseigenschaften von Zellen (PAEs) definiert.

Dabei soll auf zwei Eigenschaften eingegangen werden:

1. Einer PAE (0903) ist gemäß P196 51 075.9 ein Satz von Konfigurationsregistern (0904) zugeordnet, der eine Konfiguration beinhaltet (Fig. 9a).
2. Eine Gruppe von PAEs (0902) kann gemäß P196 54 846.2 auf einen Speicher zum Speichern oder Lesen von Daten zugreifen (Fig. 9b)

Aufgabe ist es,

- a) ein Verfahren zu schaffen, das das Umkonfigurieren von PAEs beschleunigt und zeitlich von der übergeordneten Ladeinheit entkoppelt, und
- b) das Verfahren so auszulegen, daß gleichzeitig die Möglichkeit geschaffen wird über mehrere Konfigurationen zu sequenzen, und
- c) gleichzeitig mehrere Konfigurationen in einer PAE zu halten, von denen immer eine aktiviert ist und zwischen verschiedenen Konfigurationen schnell gewechselt werden kann.

## Entkopplung der Konfigurationsregister

Das Konfigurationsregister wird von der übergeordneten Ladeeinheit (CT) entkoppelt (Fig. 10), indem ein Satz von mehreren Konfigurationsregistern (1001) verwendet wird. Immer genau eines der Konfigurationsregister bestimmt selektiv die Funktion der PAE. Die Auswahl des aktiven Registers wird über einen Multiplexer (1002) durchgeführt. In jedes der Konfigurationsregister kann die CT beliebig schreiben, sofern dieses nicht die aktuelle Konfiguration der PAE bestimmt, d.h. aktiv ist. Das Schreiben auf das aktive Register ist prinzipiell möglich, dazu stehen die in PACT10 beschriebenen Verfahren zur Verfügung.

Welches Konfigurationsregister von 1002 selektiert wird kann durch verschiedene Quellen bestimmt werden:

1. Ein beliebiges Status-Signal oder eine Gruppe beliebiger Status-Signale, die über ein Bussystem (0802) an 1002 geführt werden (Fig. 10a). Die Status-Signale werden dabei von beliebigen PAEs generiert oder durch externe Anschlüsse des Bausteins zur Verfügung gestellt (vgl. Fig. 8).
2. Das Status-Signal der PAE, die von 1001/1002 konfiguriert wird, dient zur Selektion (Fig. 10b).
3. Ein von der übergeordneten CT generiertes Signal dient zur Selektion (Fig. 10c).

Dabei ist es möglich wahlweise die eingehenden Signale (1003) mittels eines Registers für einen bestimmten Zeitraum zu speichern und alternativ und wahlweise abzurufen.

Durch den Einsatz mehrere Register wird die CT zeitlich entkoppelt. Das bedeutet, die CT kann mehrere Konfigurationen "vorladen", ohne daß eine direkte zeitliche Abhängigkeit besteht.

Lediglich wenn das selektierte/aktivierte Register in 1001 noch nicht geladen ist, wird mit der Konfiguration der PAE so



47

lange gewartet, bis die CT das Register geladen hat. Um festzustellen, ob ein Register eine gültige Information besitzt kann beispielsweise ein "Valid-Bit" (1004) pro Register eingeführt werden, das von der CT gesetzt wird. Ist 0906 bei einem selektierten Register nicht gesetzt, wird über ein Signal die CT zum schnellstmöglichen Setzen des Registers aufgefordert.

Das in Fig. 10 beschriebene Verfahren ist einfach zu einem Sequenzer erweiterbar (Fig. 11). Dazu wird ein Sequenzer mit Instruktionsdekoder (1101) zur Ansteuerung der Selektionssignale des Multiplexers (1002) verwendet. Der Sequenzer bestimmt dabei abhängig von der aktuell selektierten Konfiguration (1102) und einer zusätzlichen Statusinformation (1103/1104) die nächste zu selektierende Konfiguration. Dabei kann die Statusinformation

- (a) der Status der Status-Signal der PAE, die von 1001/1002 konfiguriert wird sein (Fig. 11a)
- (b) ein beliebiges über 0802 zugeführtes Statussignal sein (Fig. 11b)
- (c) eine Kombination aus (a) und (b) sein.

1001 kann auch als Speicher ausgestaltet sein, wobei anstatt 1002 ein Befehl von 1101 adressiert wird. Die Adressierung ist dabei abhängig vom Befehl selbst und von einem Statusregister. Insoweit entspricht der Aufbau einer "von Neumann" Maschine, mit dem Unterschied,

- (a) der universellen Einsetzbarkeit, also den Sequenzer nicht zu verwenden (vgl. Fig. 10)
- (b) daß das Statussignal nicht von dem dem Sequenzer zugeordneten Rechenwerk (PAE) generiert werden muß, sondern von einem beliebigen anderen Rechenwerk stammen kann (vgl. Fig. 11b).

42

Wichtig ist, daß der Sequenzer dabei Sprünge, insbesondere auch bedingte Sprünge, innerhalb von 1001 ausführen kann.

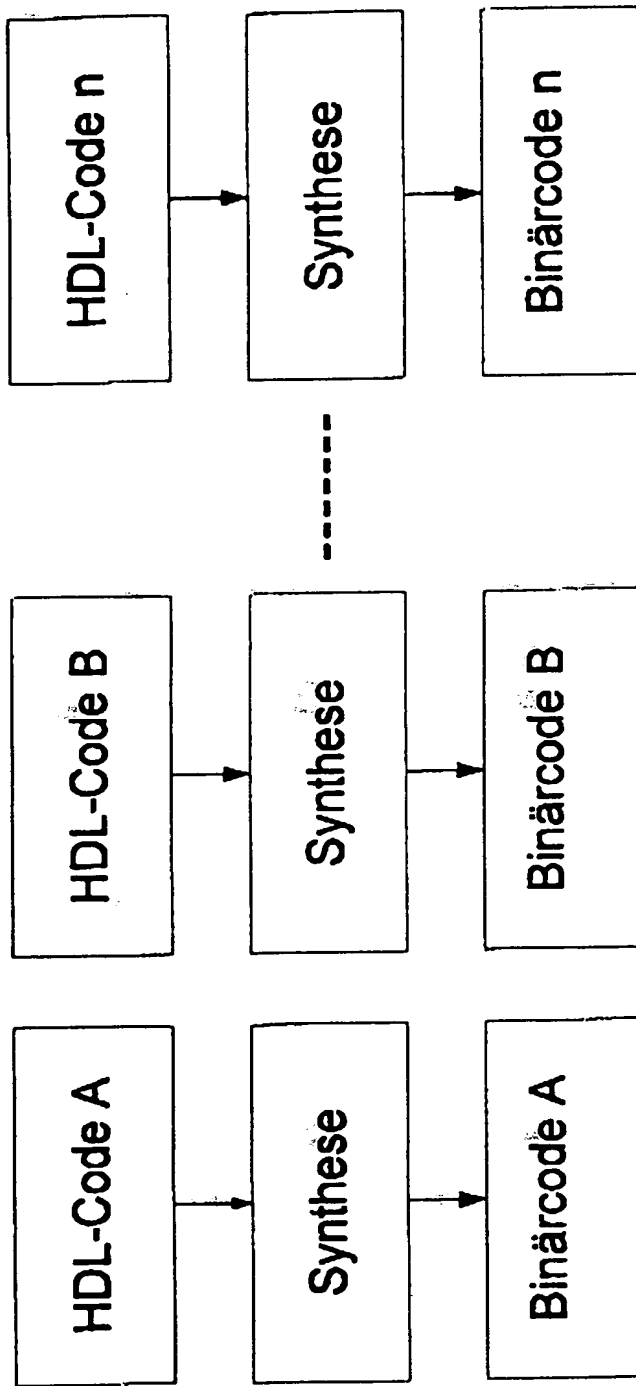
Ein weiteres zusätzliches oder alternatives Verfahren (Fig. 12) zum Aufbau von Sequenzern innerhalb von VPUs ist die Verwendung der internen Datenspeicher (1201, 0901) zum Speichern der Konfigurationsinformation für eine PAE oder eine Gruppe von PAEs. Dabei wird der Datenausgang eines Speichers auf einen Konfigurationseingang einer PAE oder mehrerer PAEs geschaltet (1202). Die Adresse (1203) für 1201 kann dabei von derselben PAE/denselben PAEs oder einer oder mehreren beliebigen anderen generiert werden.

Bei diesem Verfahren ist der Sequenzer nicht fest implementiert, sondern wird durch eine PAE oder eine Gruppe von PAEs nachgebildet.

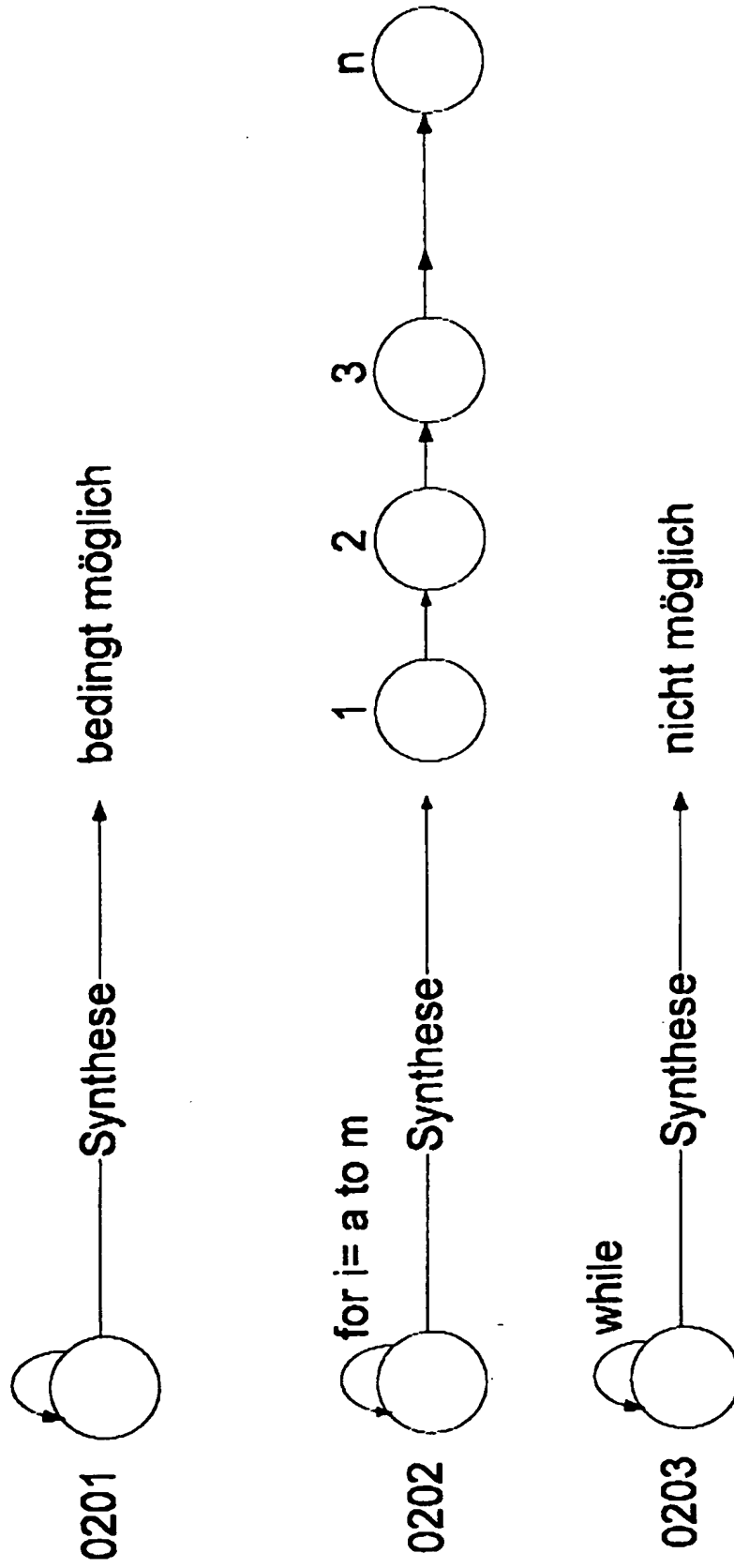
Patentansprüche

Verfahren zum Ausführen von Programmen auf einem Baustein mit ein- oder mehrdimensionaler Zellstruktur, dadurch gekennzeichnet,

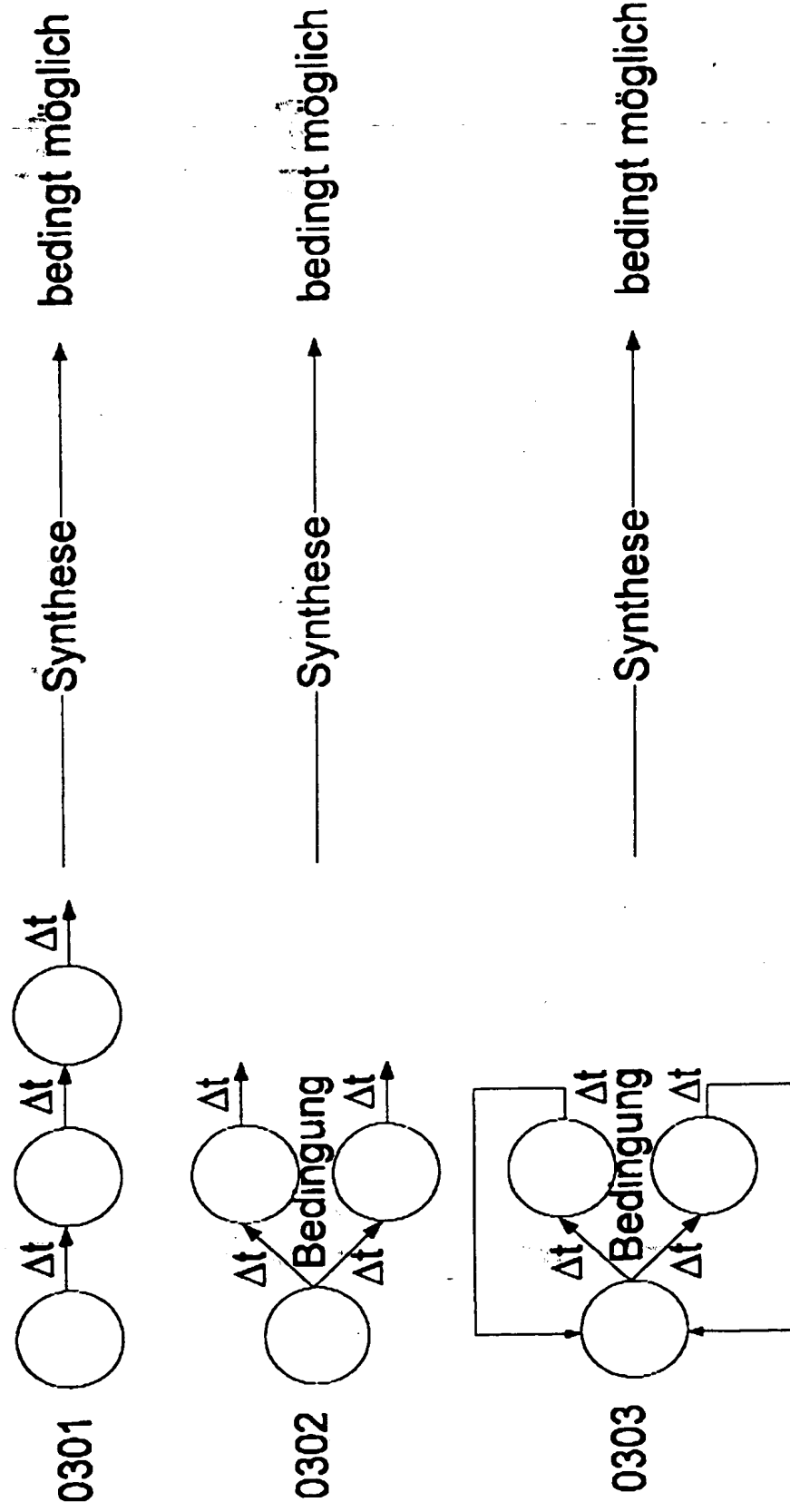
daß Datenfluß- oder Kontrollflußgraphen in zeitlich getrennte Teilgraphen partitioniert werden und sequentiell auf den Baustein abgebildet und ausgeführt werden.



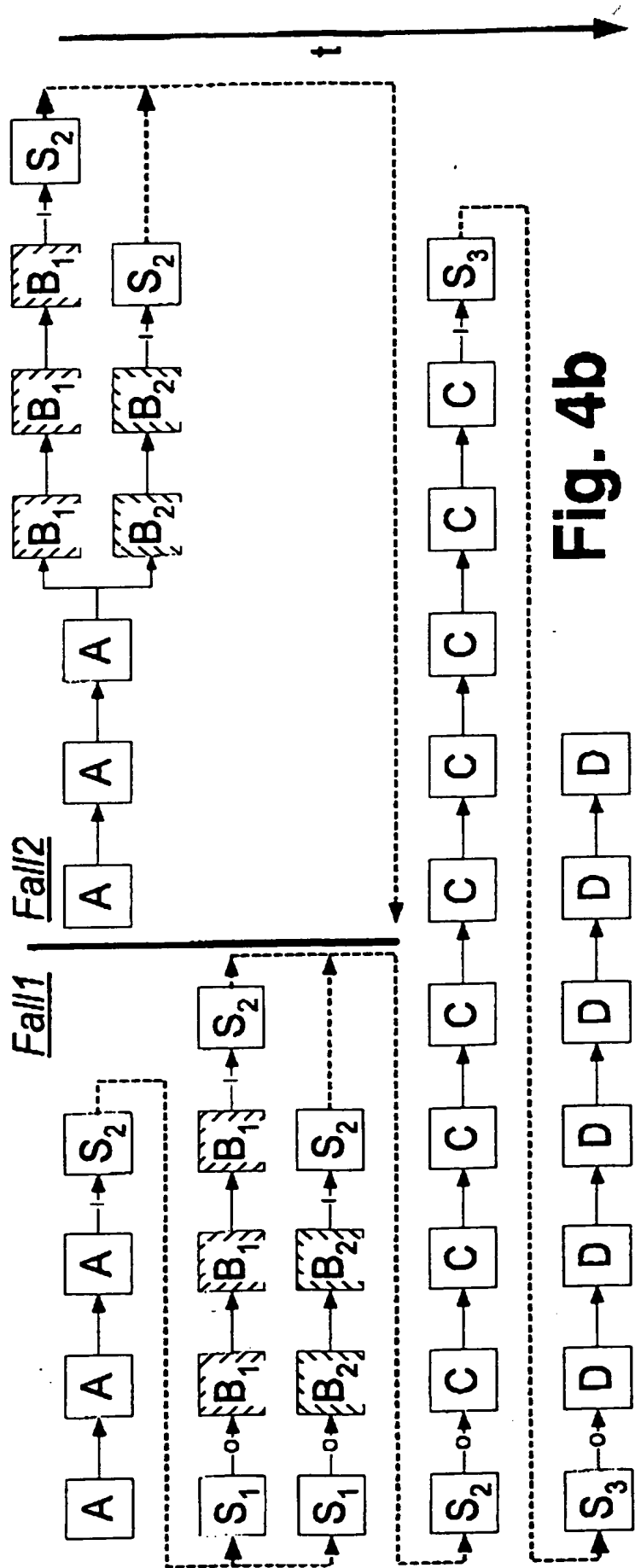
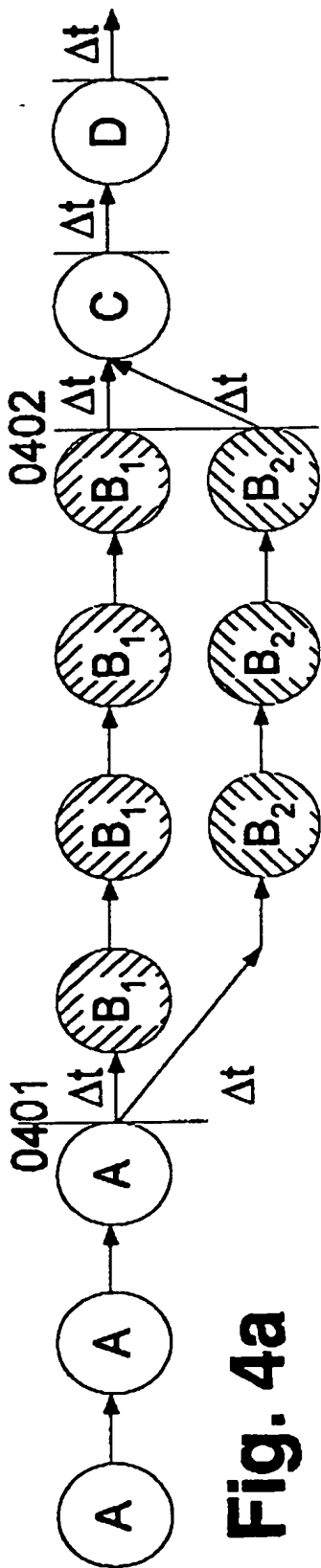
**Fig. 1**    **Stand der Technik**

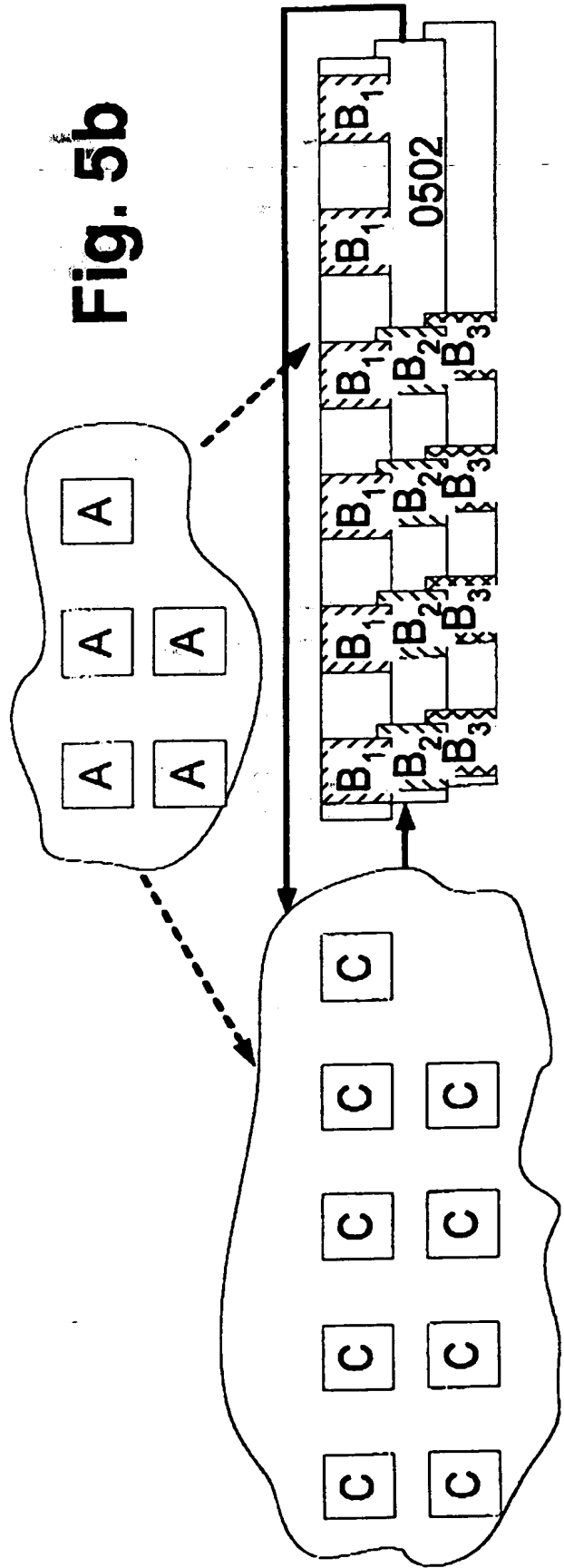
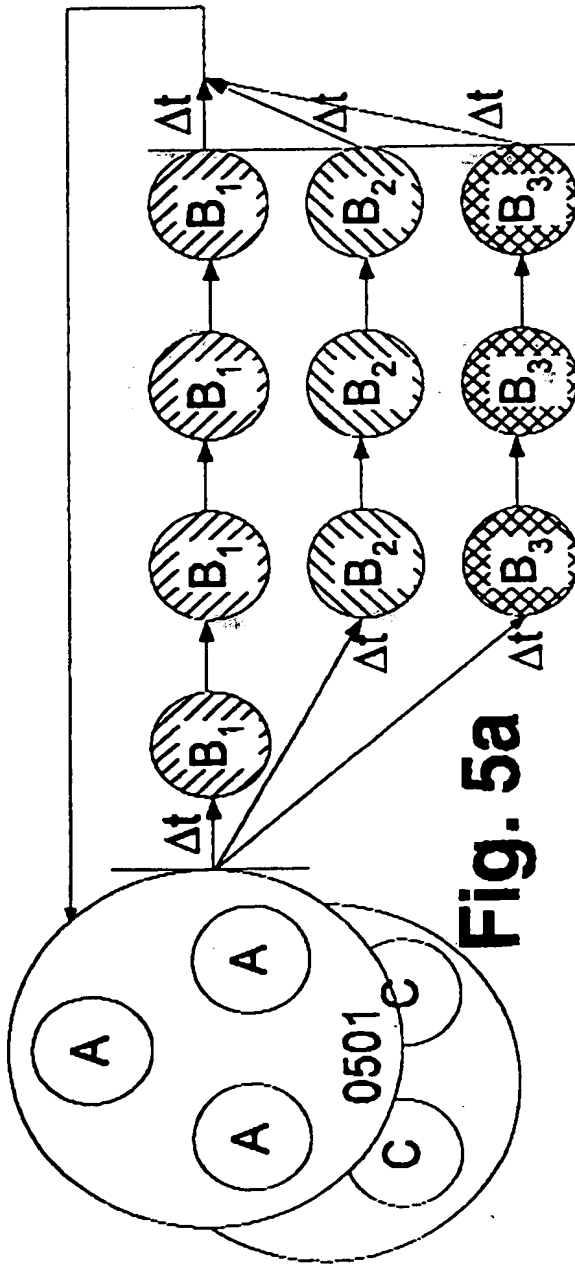


**Fig. 2**    **Stand der Technik**



**Fig. 3**      **Stand der Technik**







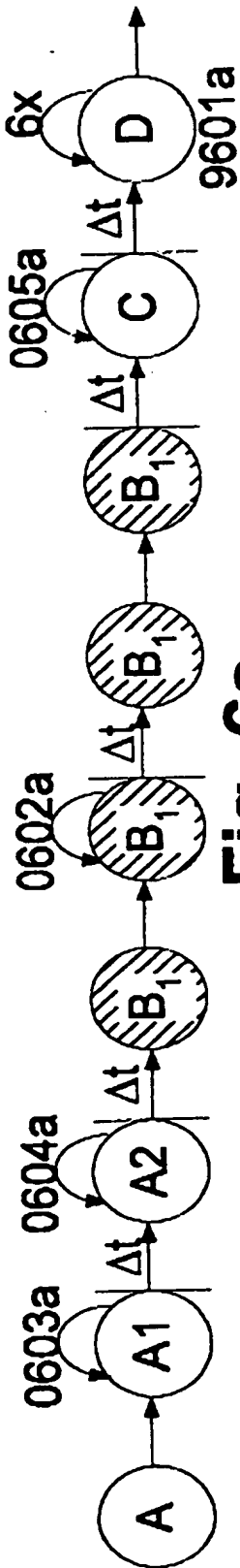
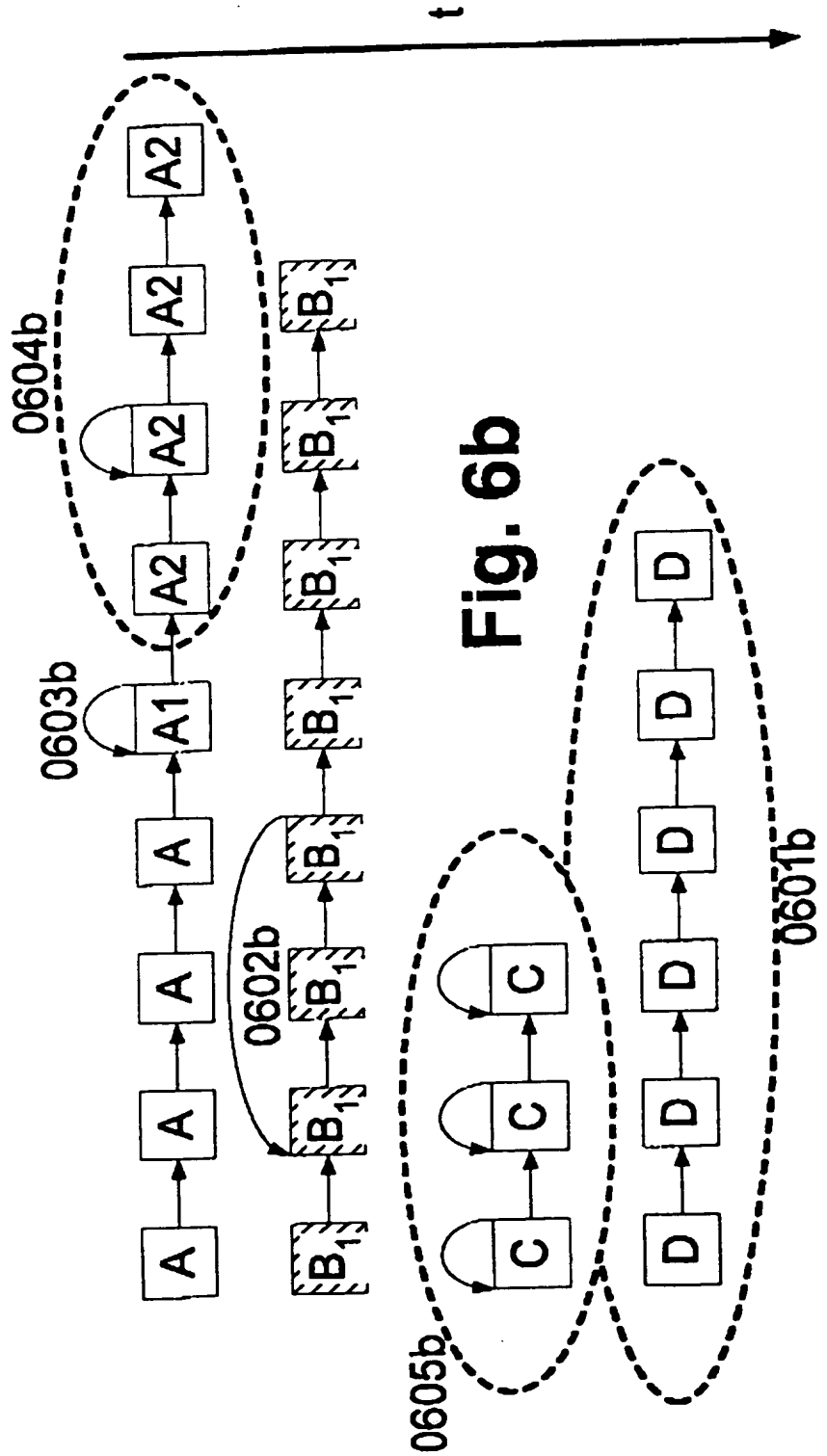
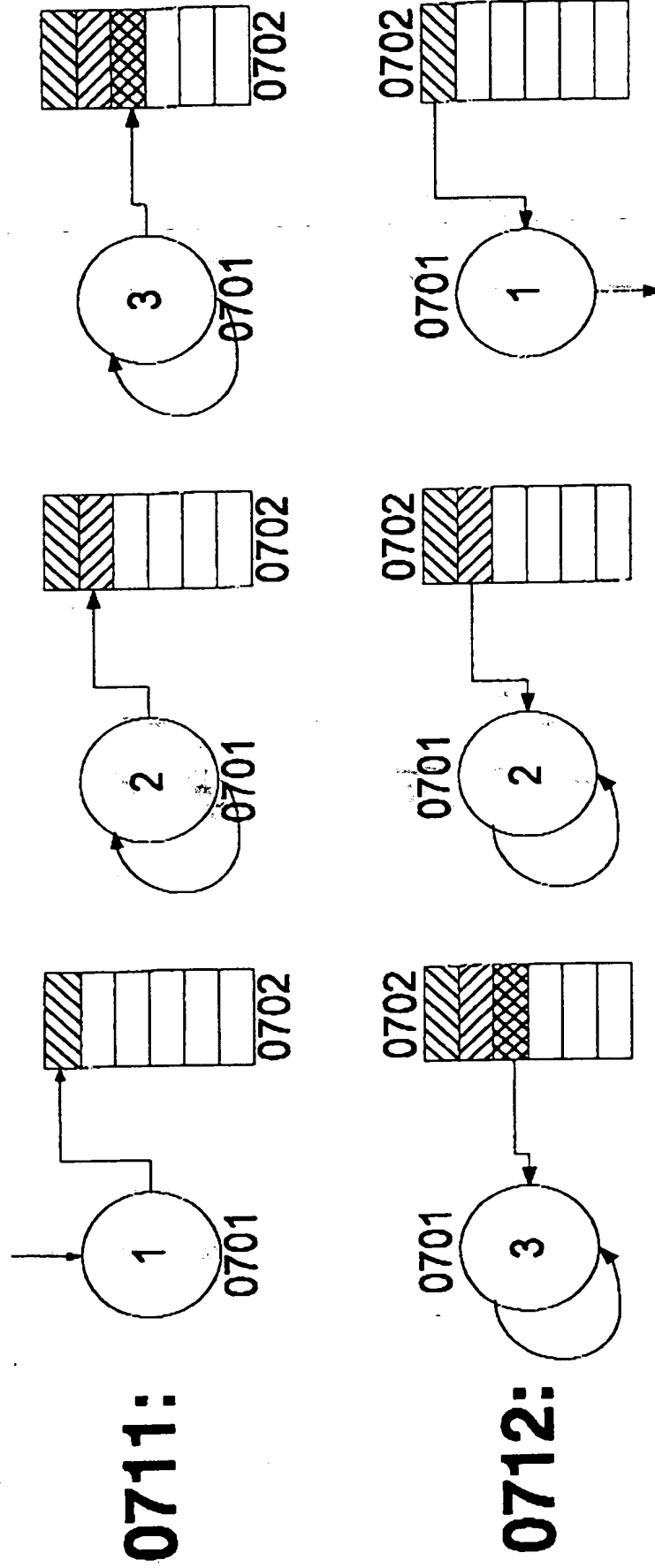
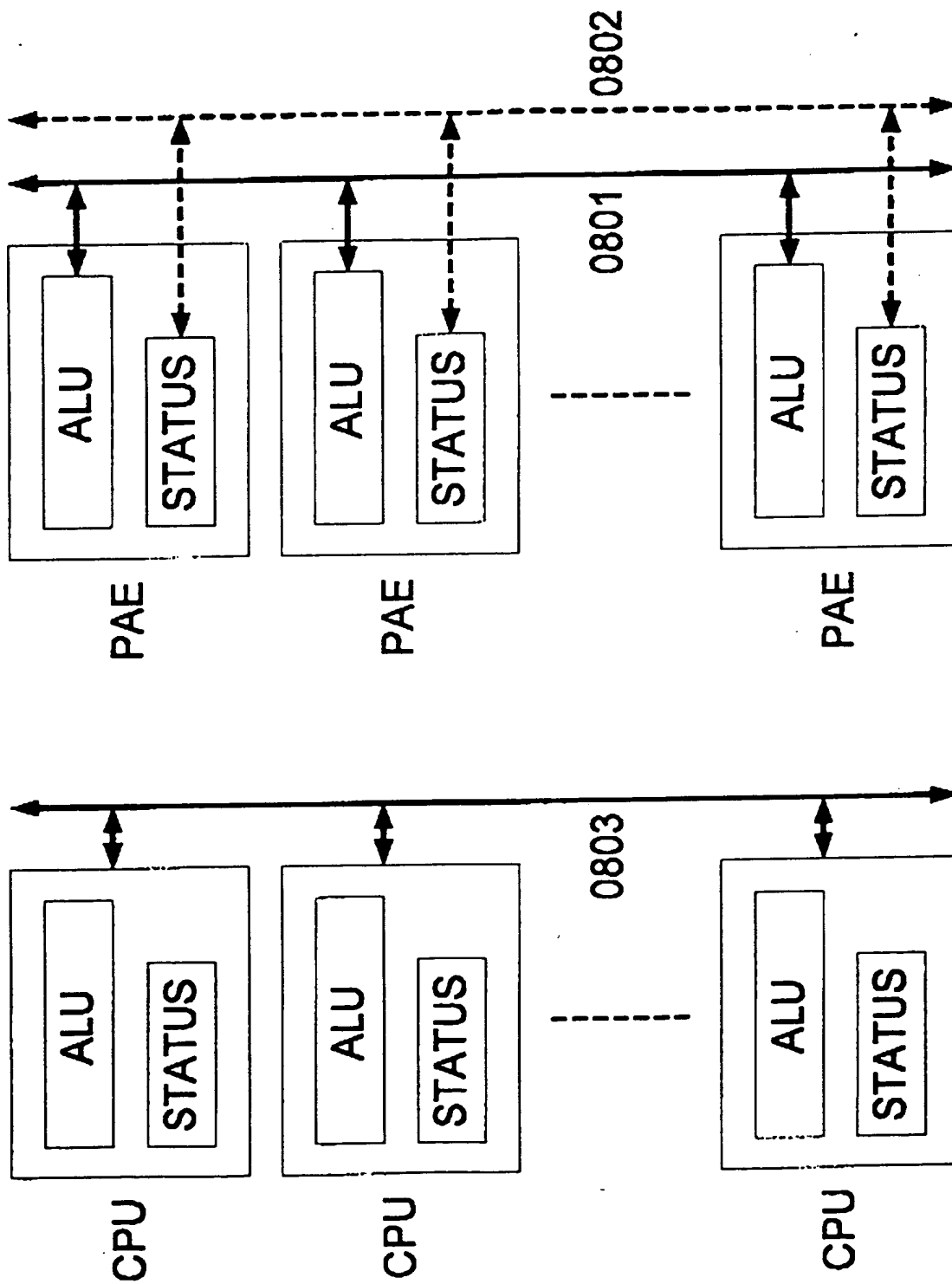


Fig. 6a



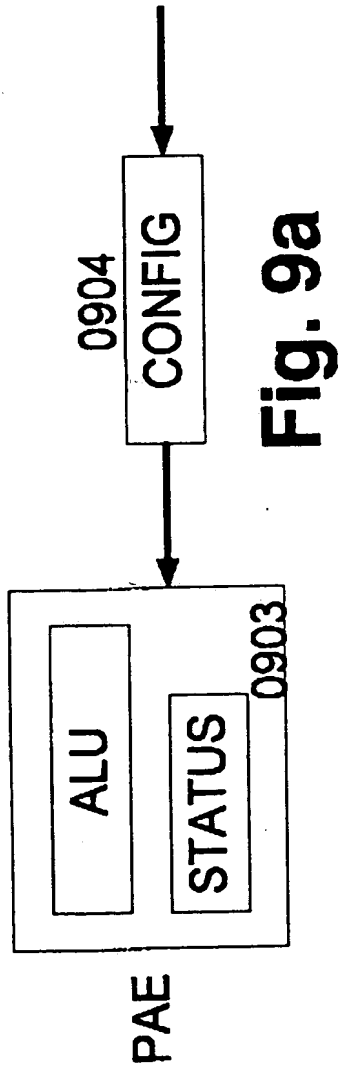


**Fig. 7**



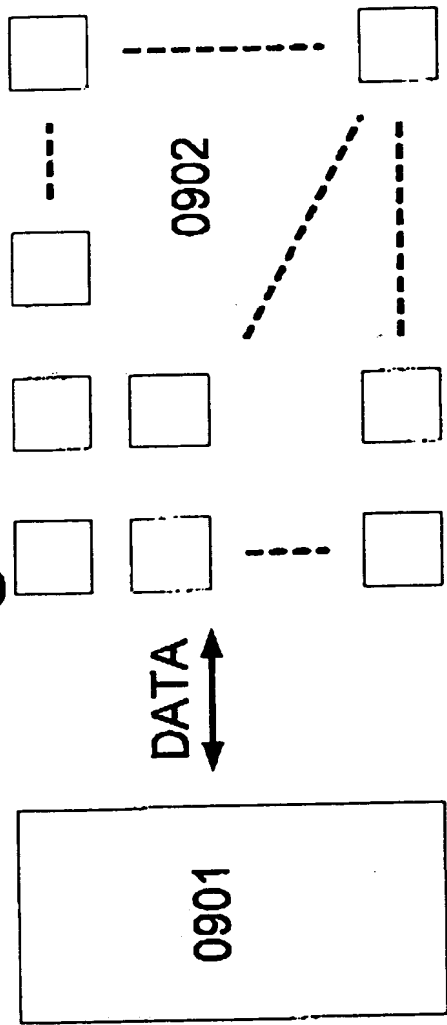
**Fig. 8a Stand der Technik**

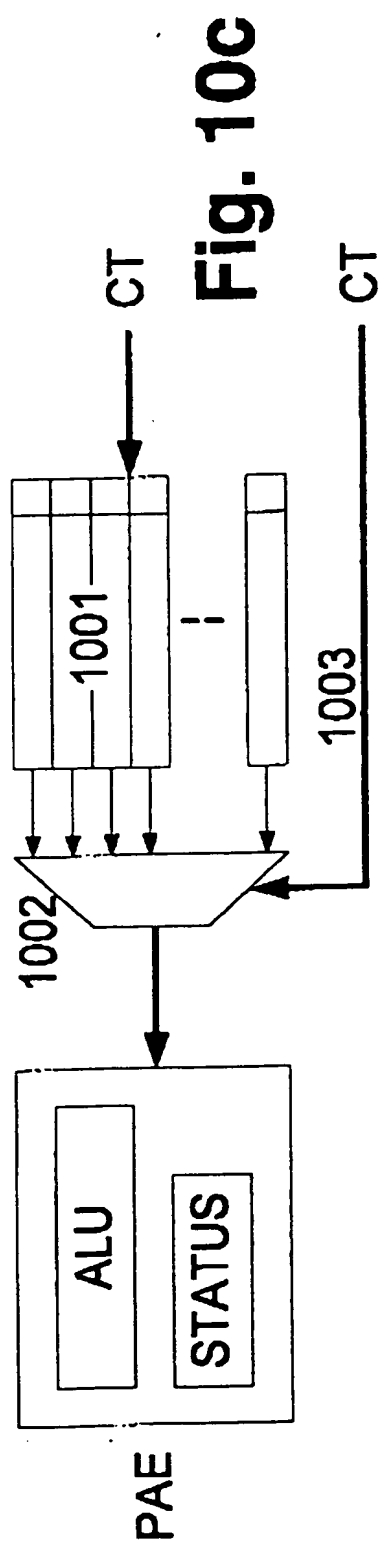
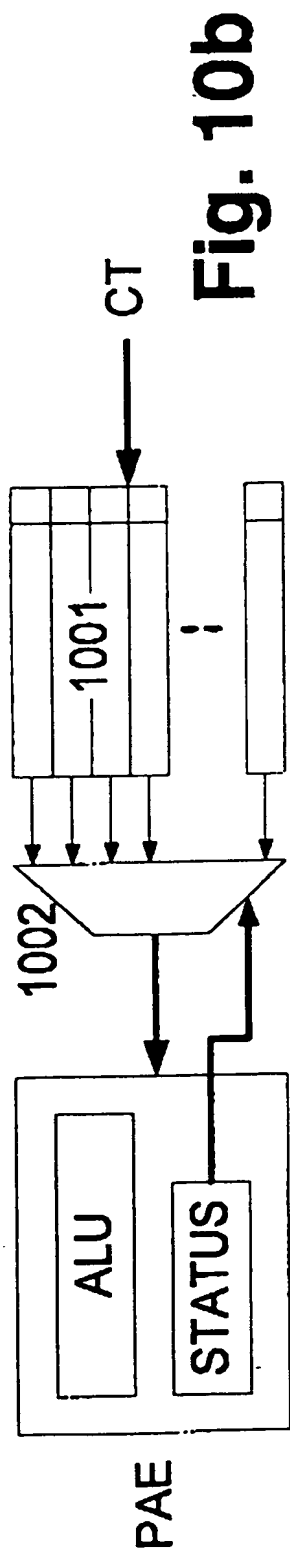
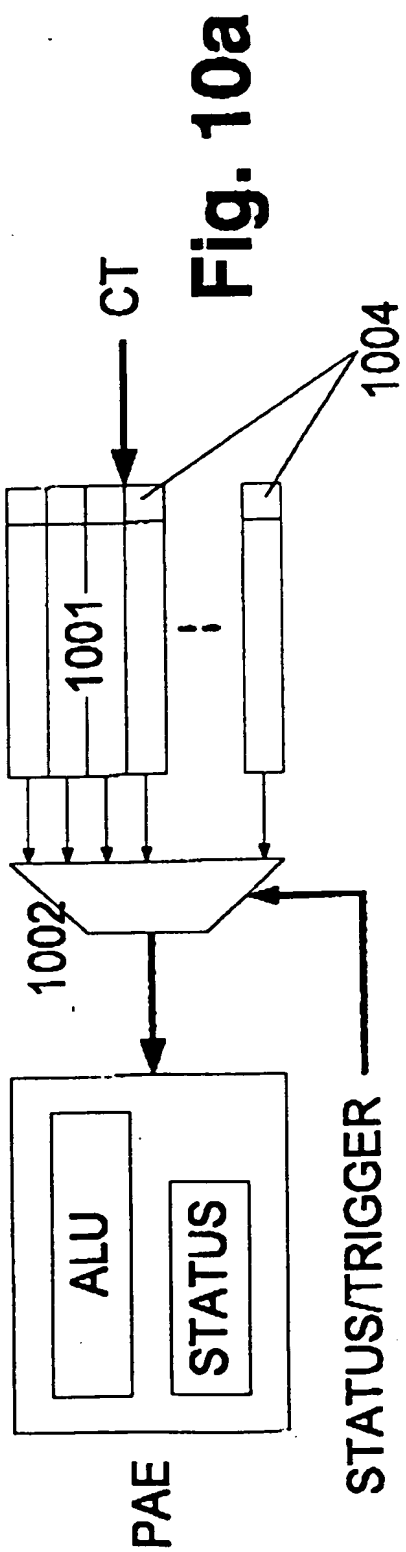
**Fig. 8b**



# Stand der Technik

Fig. 9b





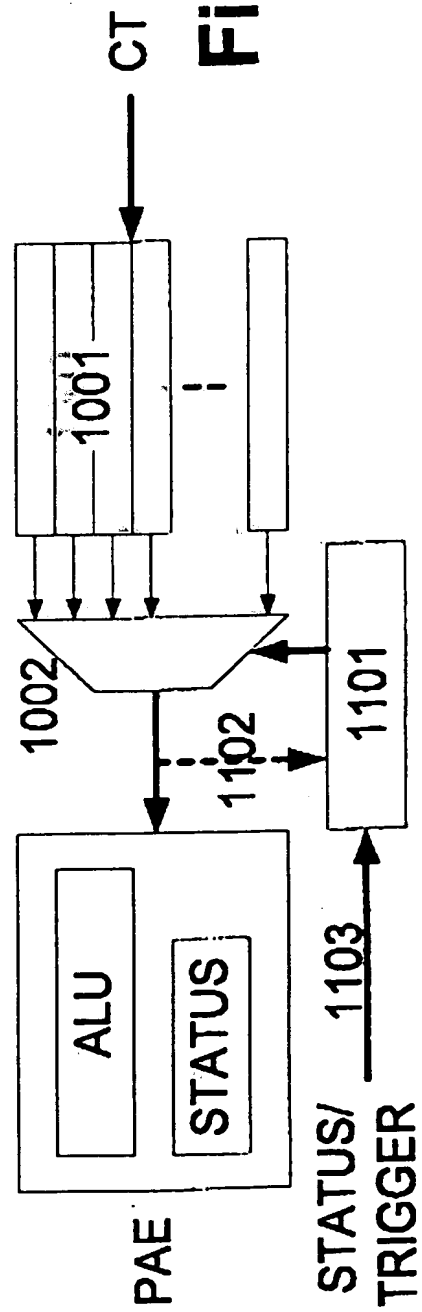
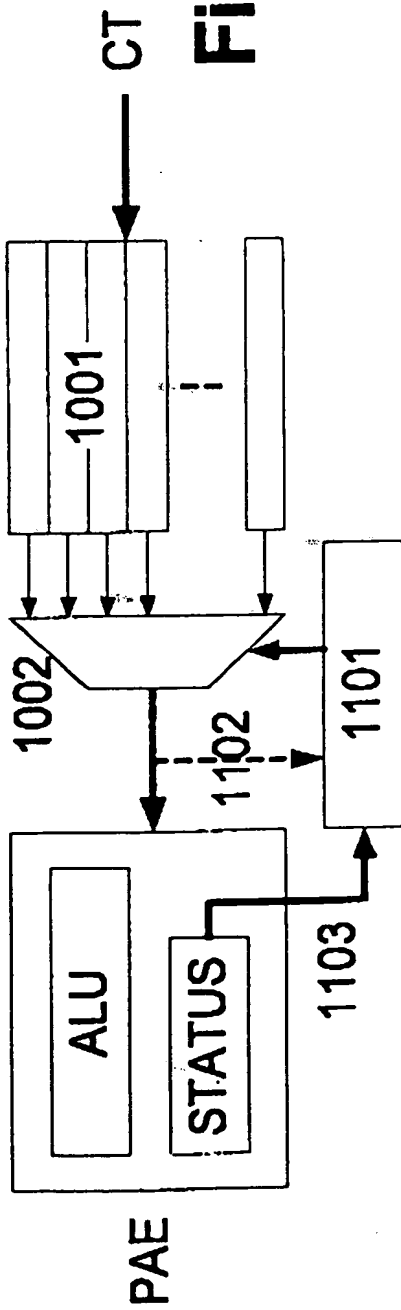
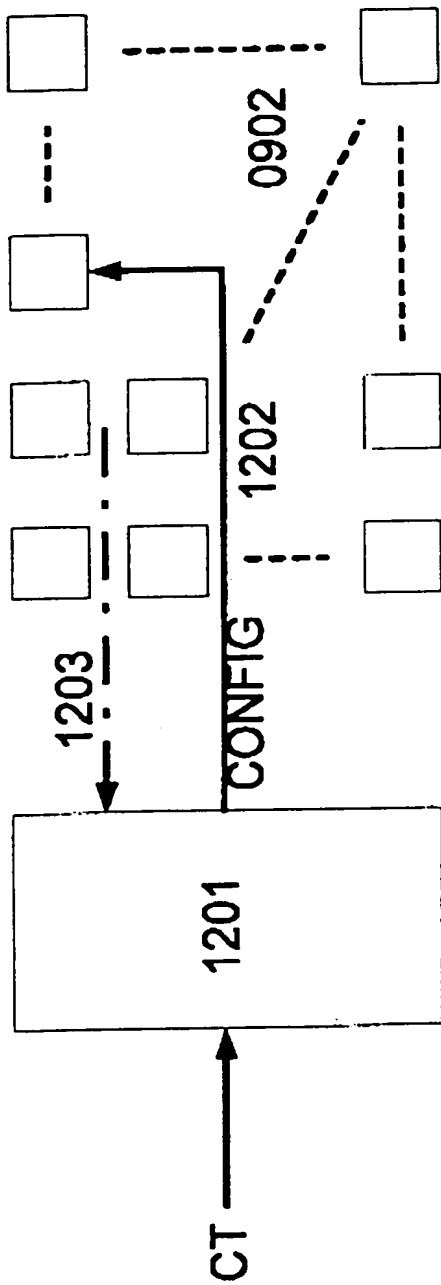


Fig. 12



138

**13b**

130३३१

133

A	A	A	A	A	A	A	A
F	F	F	F	F	F	F	F
H	H	H	H	H	H	H	H
C	C	C	C	C	C	C	C



**Fig.**

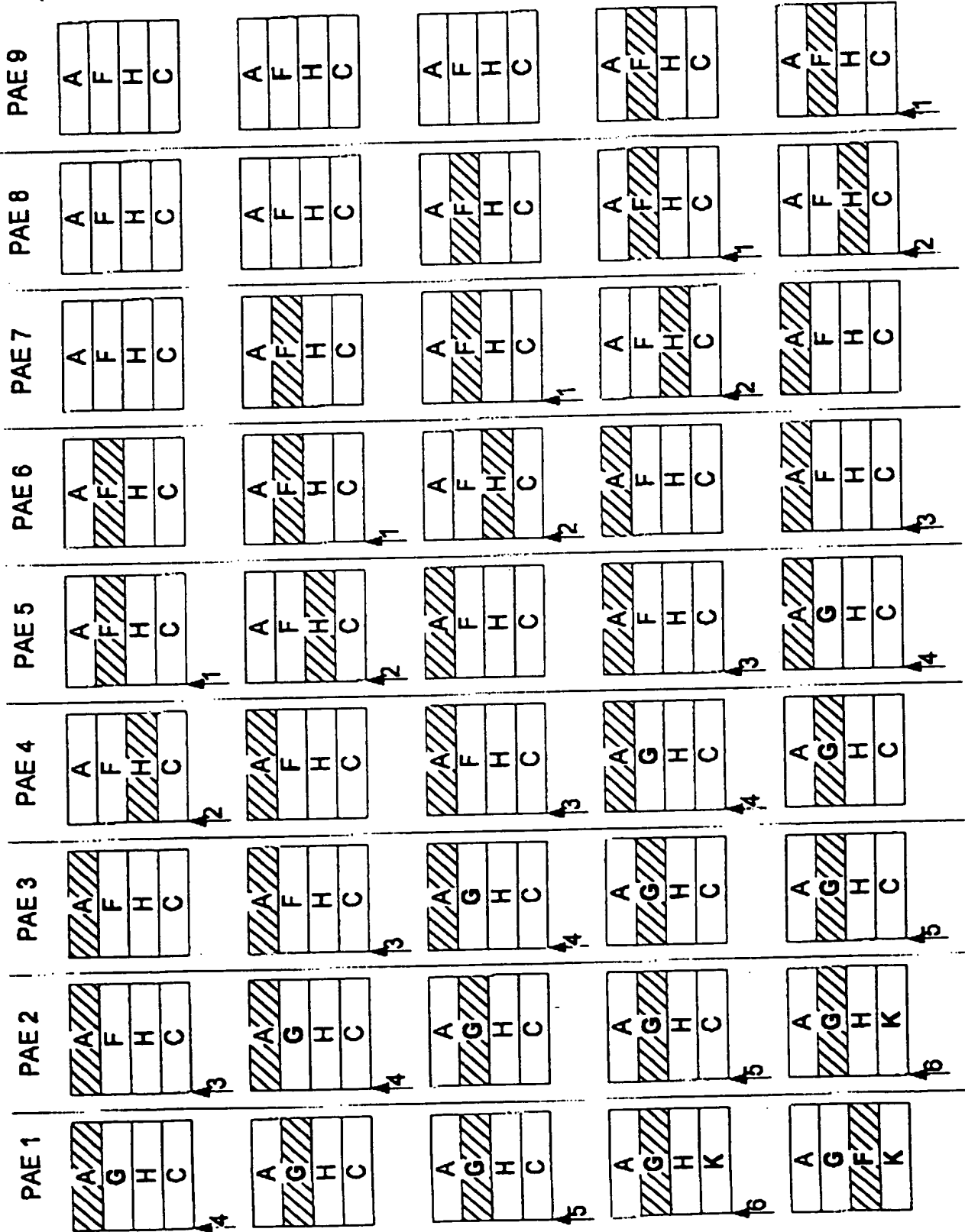
**13f**

**13g**

**13h**

**13i**

**13j**



PAE1

The diagram illustrates a sequence of transformations on a 4x4 grid. The grid is divided into four columns, each labeled at the top: 13g\*, 13h\*, 13i\*, and 13j\*. Each column contains eight rows of diagrams, showing the progression of a pattern. The pattern consists of letters (A, F, H, C) and shaded regions (diagonal lines, cross-hatch, grid, etc.). Arrows indicate the sequence of transformations from left to right and top to bottom.

**Column 13g\*:**

- Row 1: A, F, H, C
- Row 2: A, F, H, C
- Row 3: A, F, H, C
- Row 4: A, F, H, C
- Row 5: A, F, H, C
- Row 6: A, F, H, C
- Row 7: A, F, H, C
- Row 8: A, F, H, C

**Column 13h\*:**

- Row 1: A, F, H, C
- Row 2: A, F, H, C
- Row 3: A, F, H, C
- Row 4: A, F, H, C
- Row 5: A, F, H, C
- Row 6: A, F, H, C
- Row 7: A, F, H, C
- Row 8: A, F, H, C

**Column 13i\*:**

- Row 1: A, F, H, C
- Row 2: A, F, H, C
- Row 3: A, F, H, C
- Row 4: A, F, H, C
- Row 5: A, F, H, C
- Row 6: A, F, H, C
- Row 7: A, F, H, C
- Row 8: A, F, H, C

**Column 13j\*:**

- Row 1: A, F, H, C
- Row 2: A, F, H, C
- Row 3: A, F, H, C
- Row 4: A, F, H, C
- Row 5: A, F, H, C
- Row 6: A, F, H, C
- Row 7: A, F, H, C
- Row 8: A, F, H, C

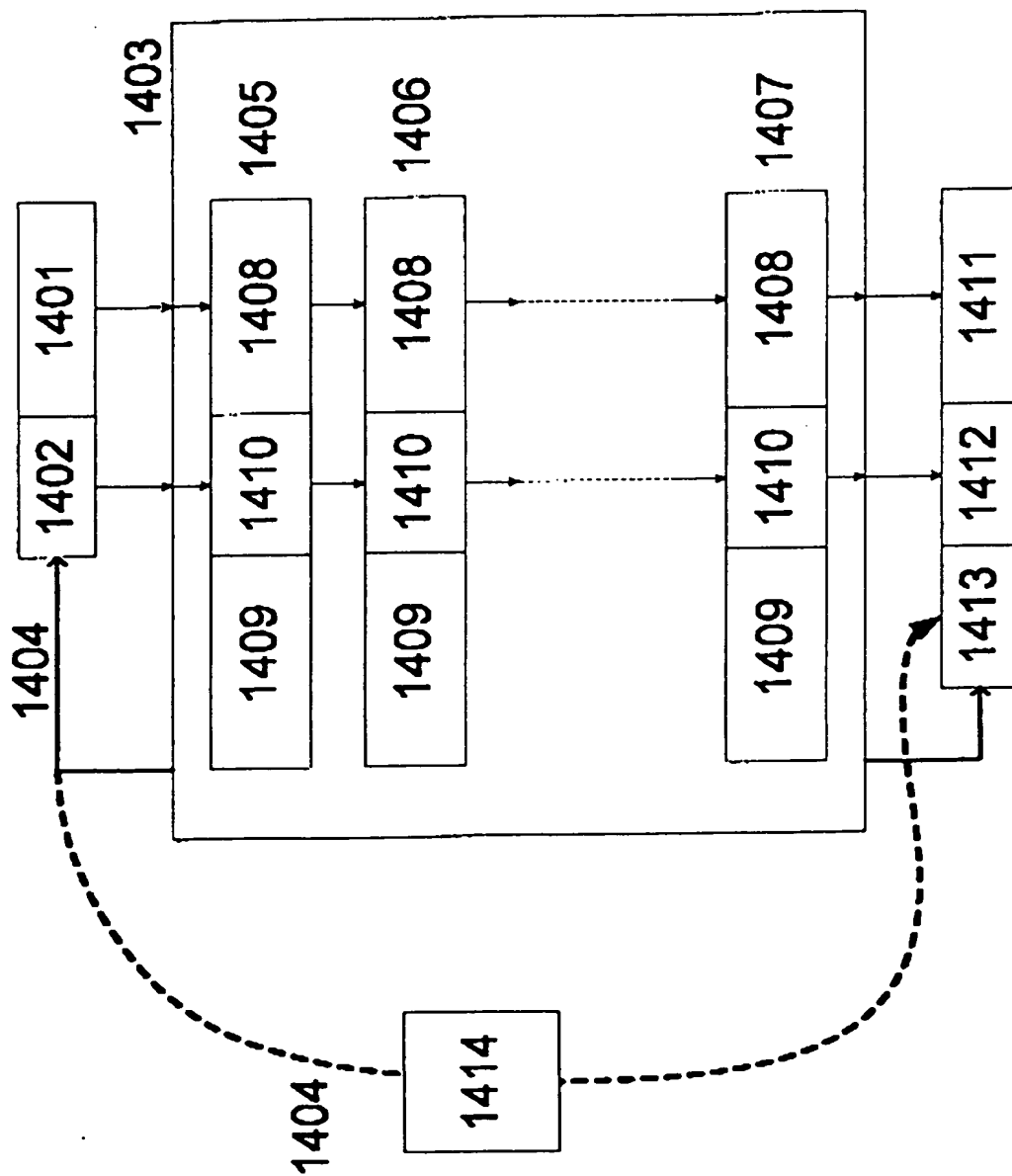


Fig. 14

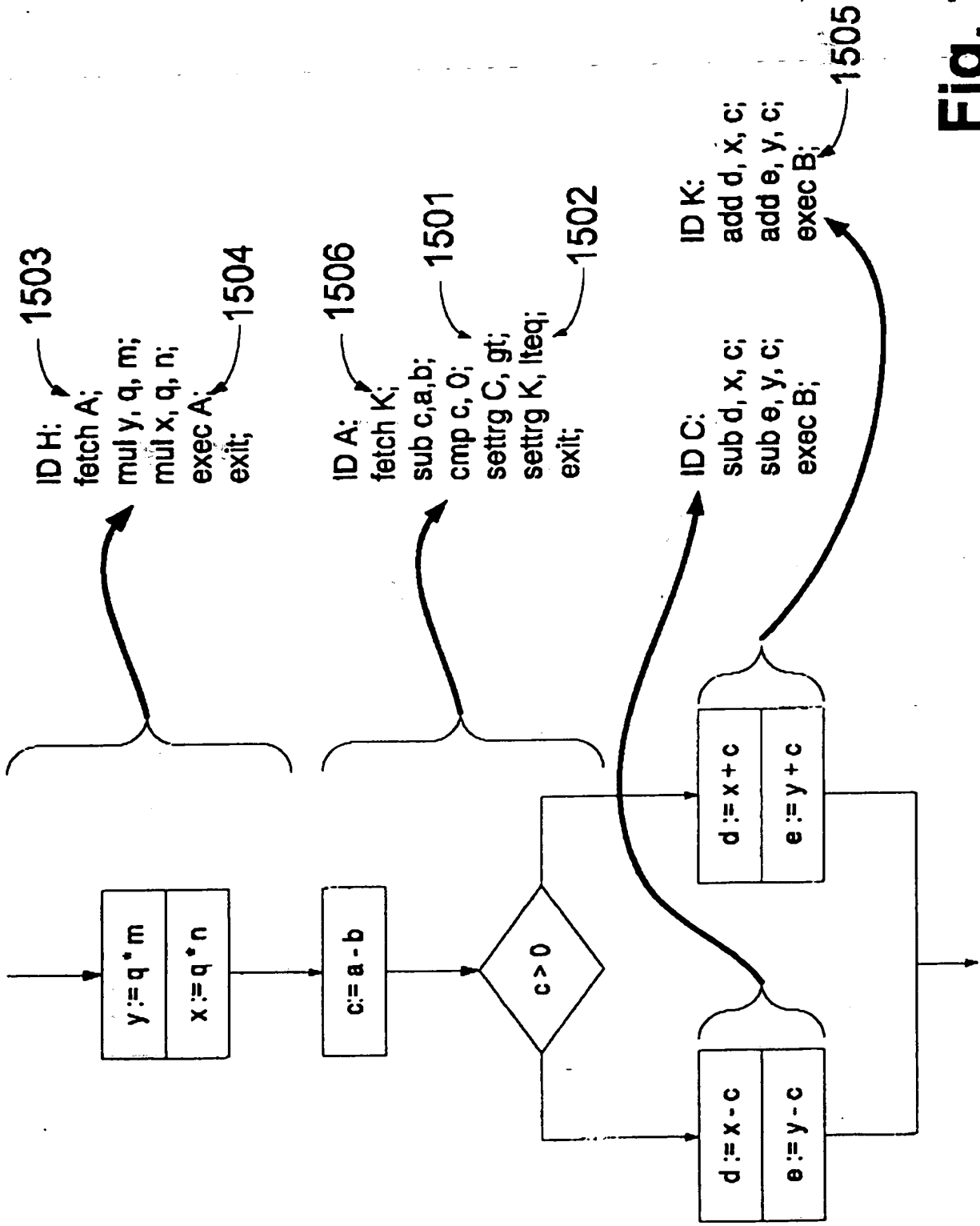


Fig. 15

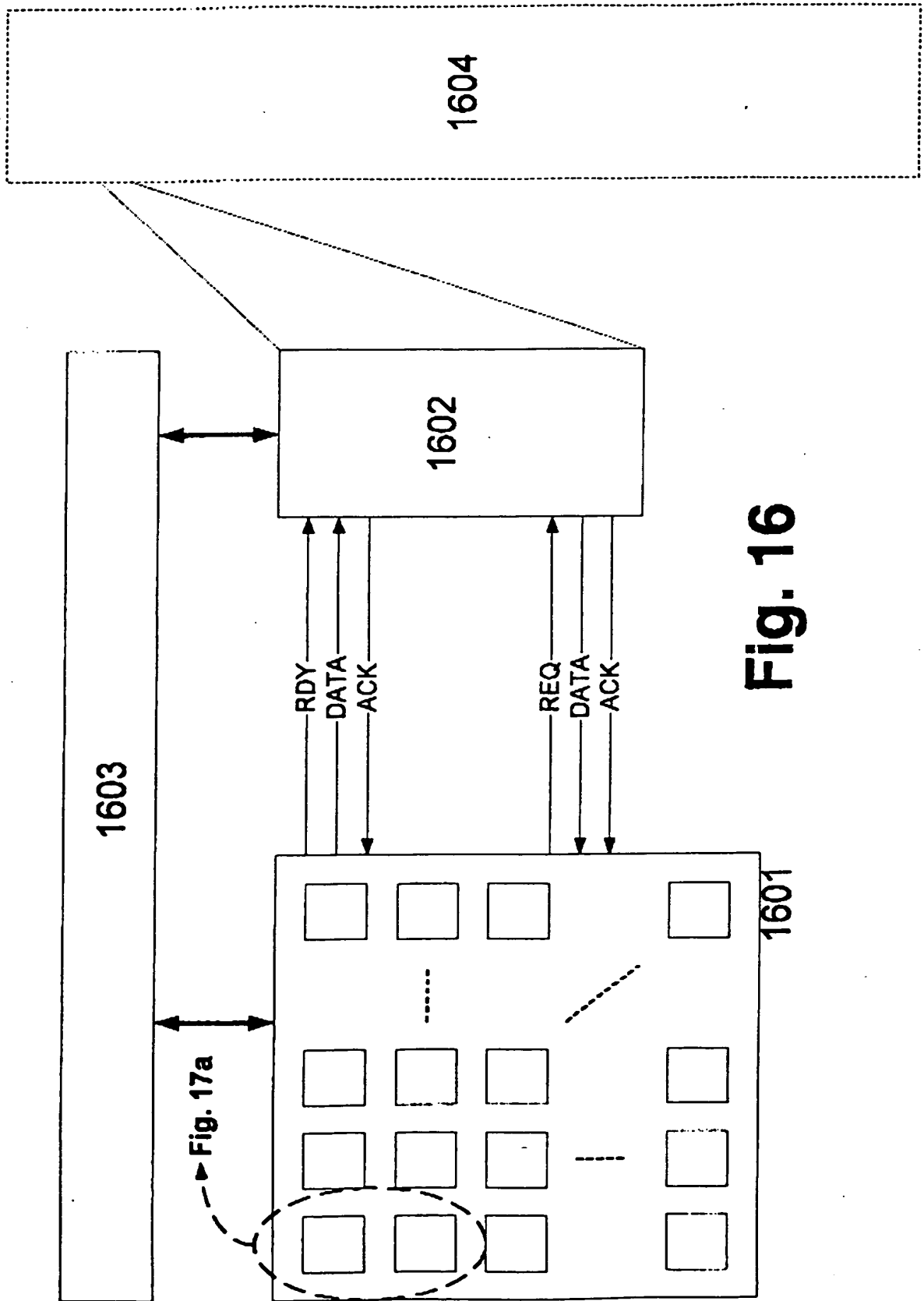


Fig. 16

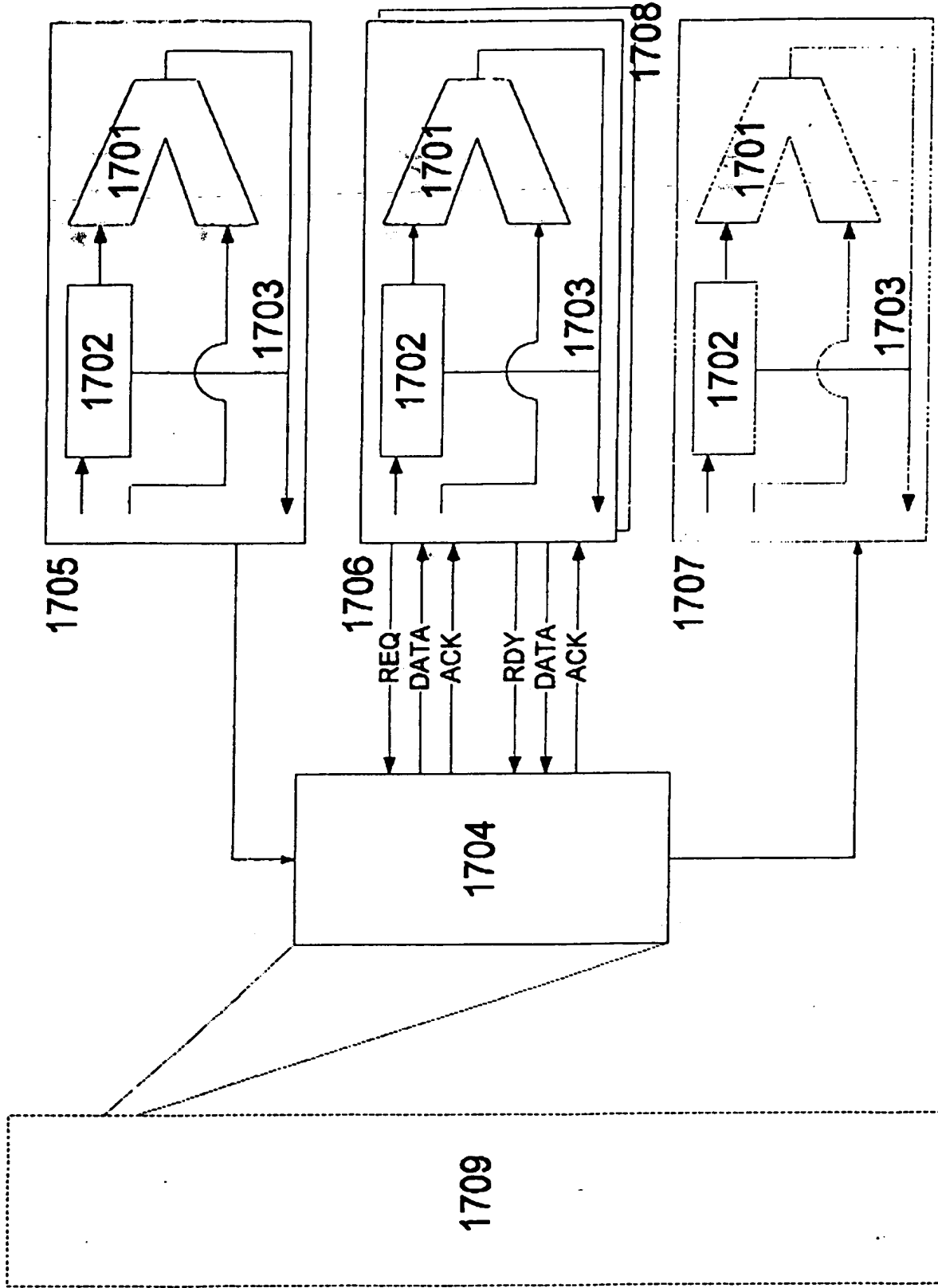
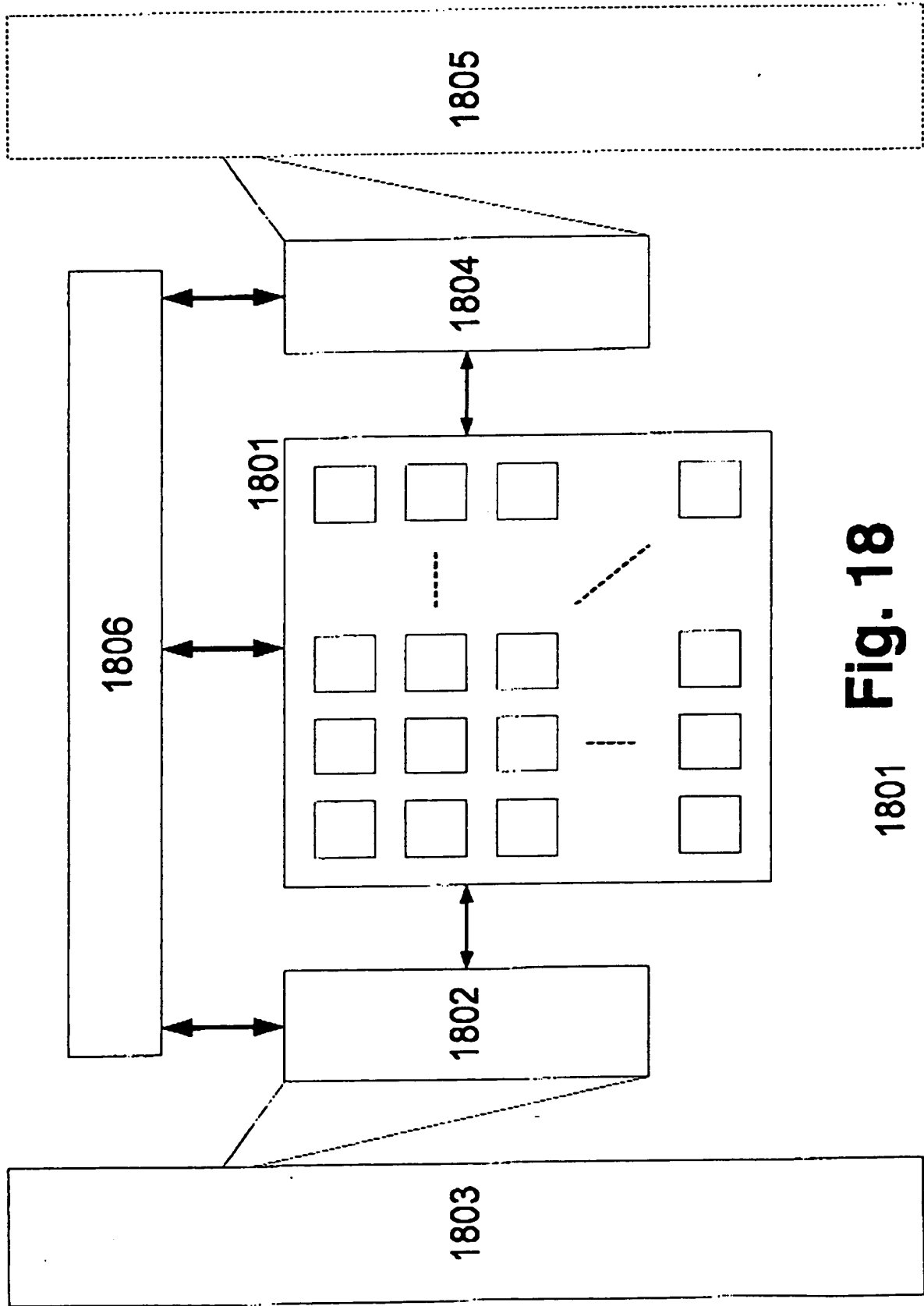


Fig. 17a

Fig. 17



1801 **Fig. 18**

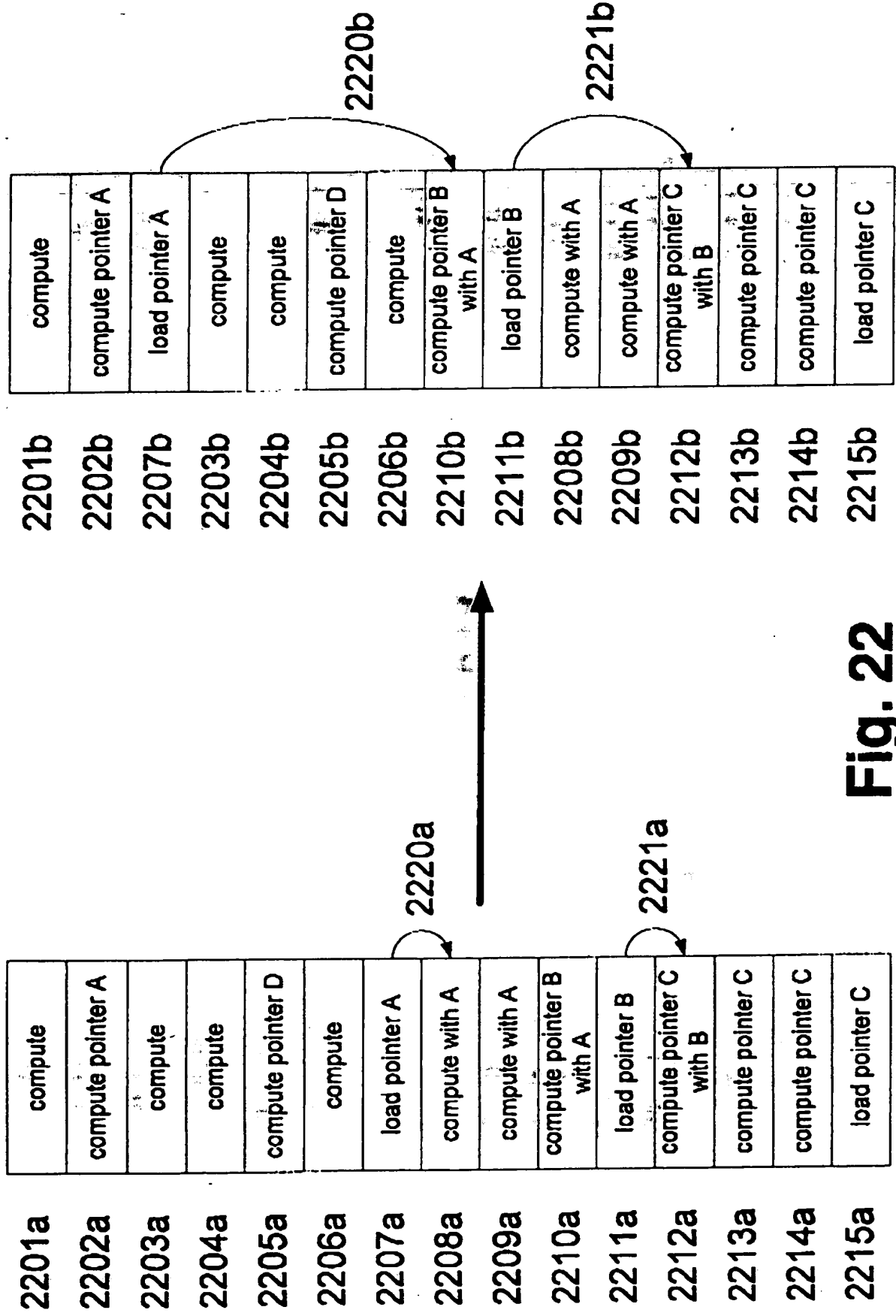
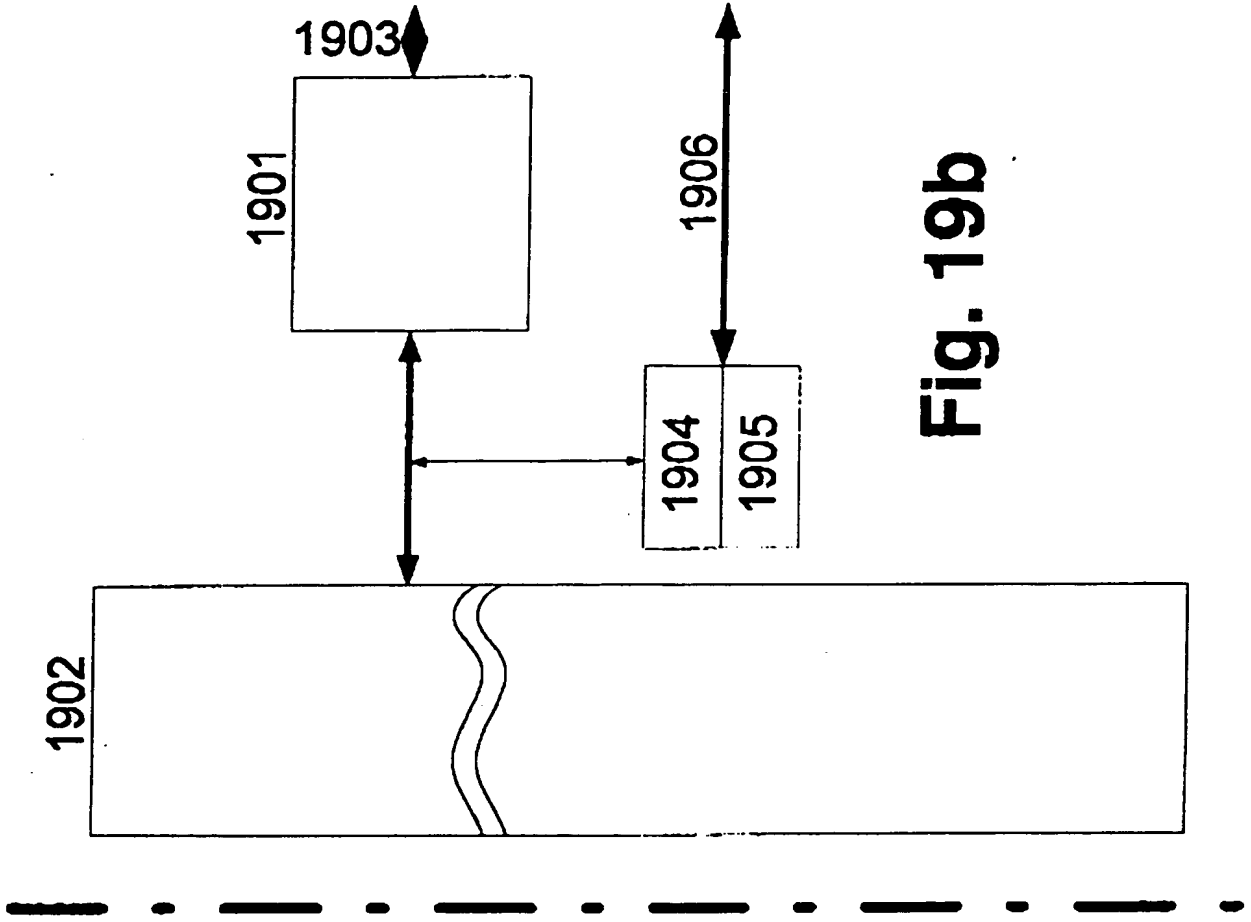
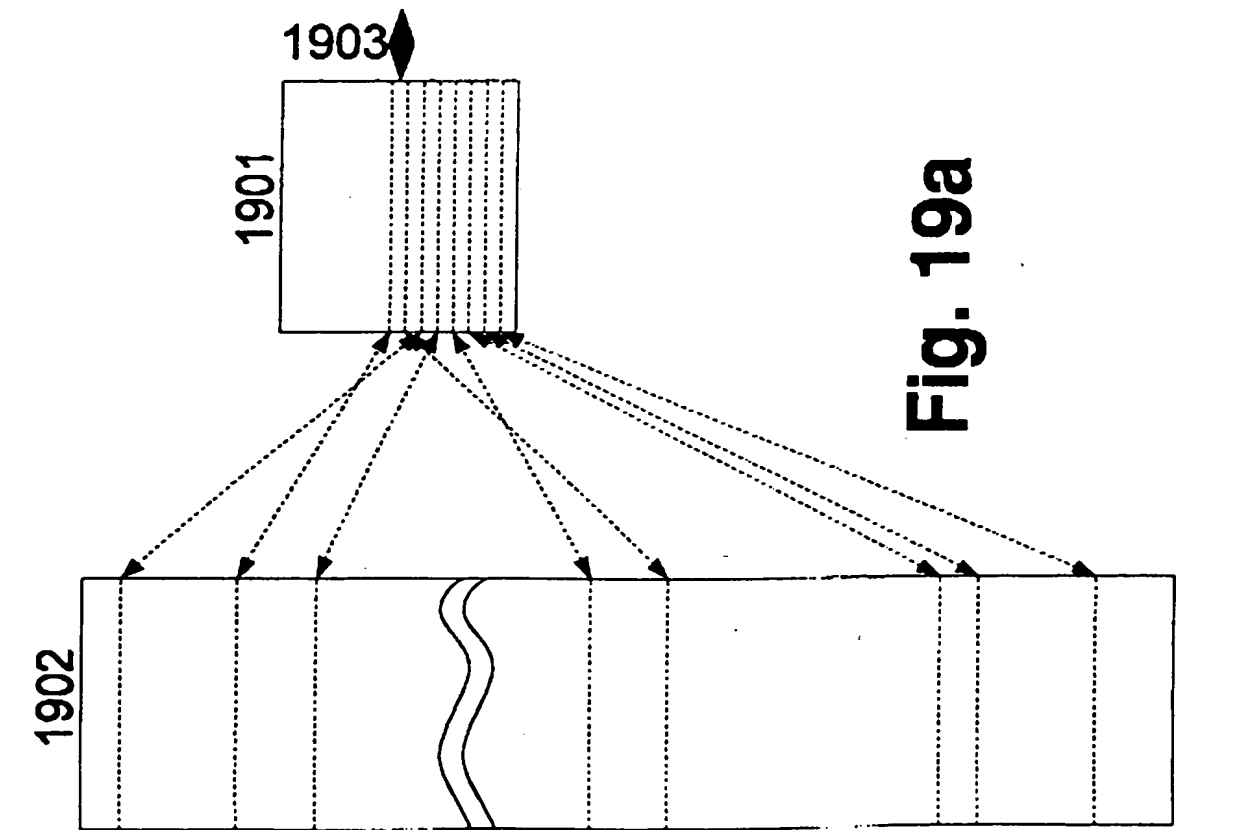


Fig. 22





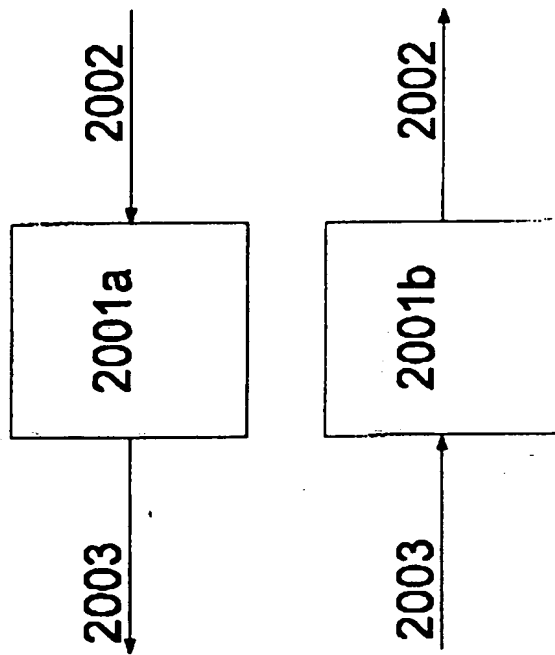


Fig. 20a

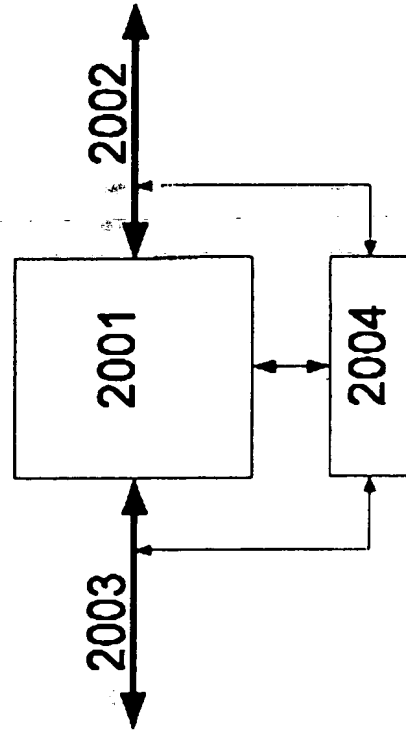
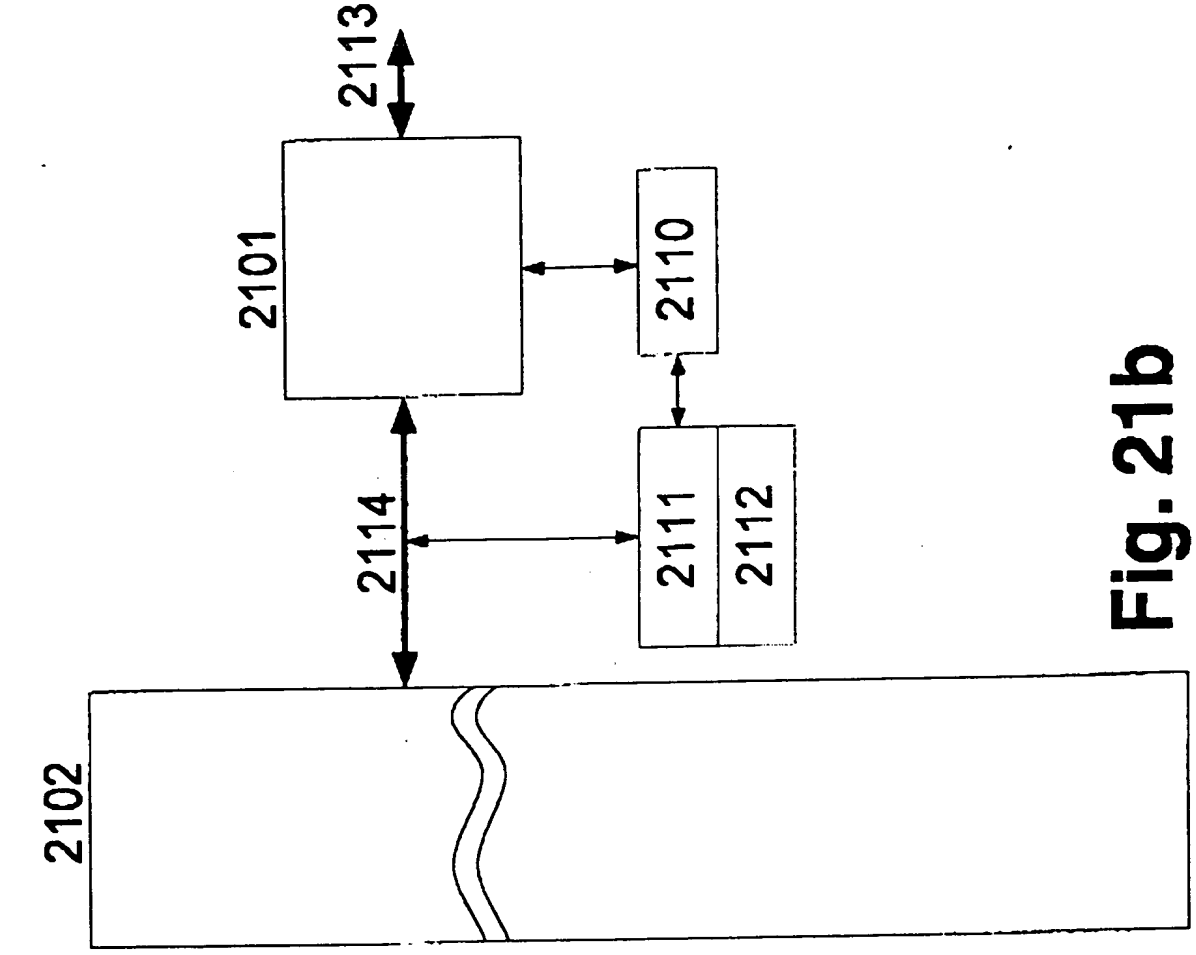
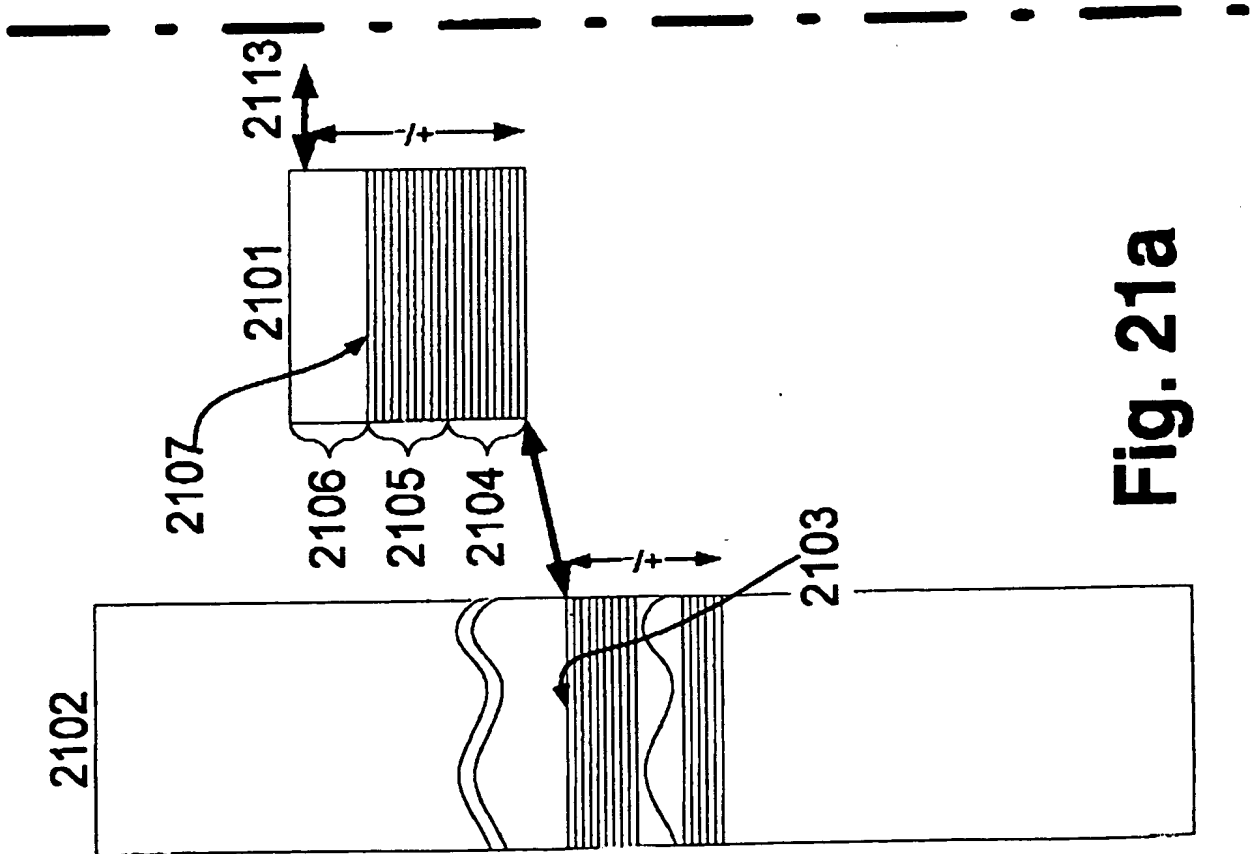
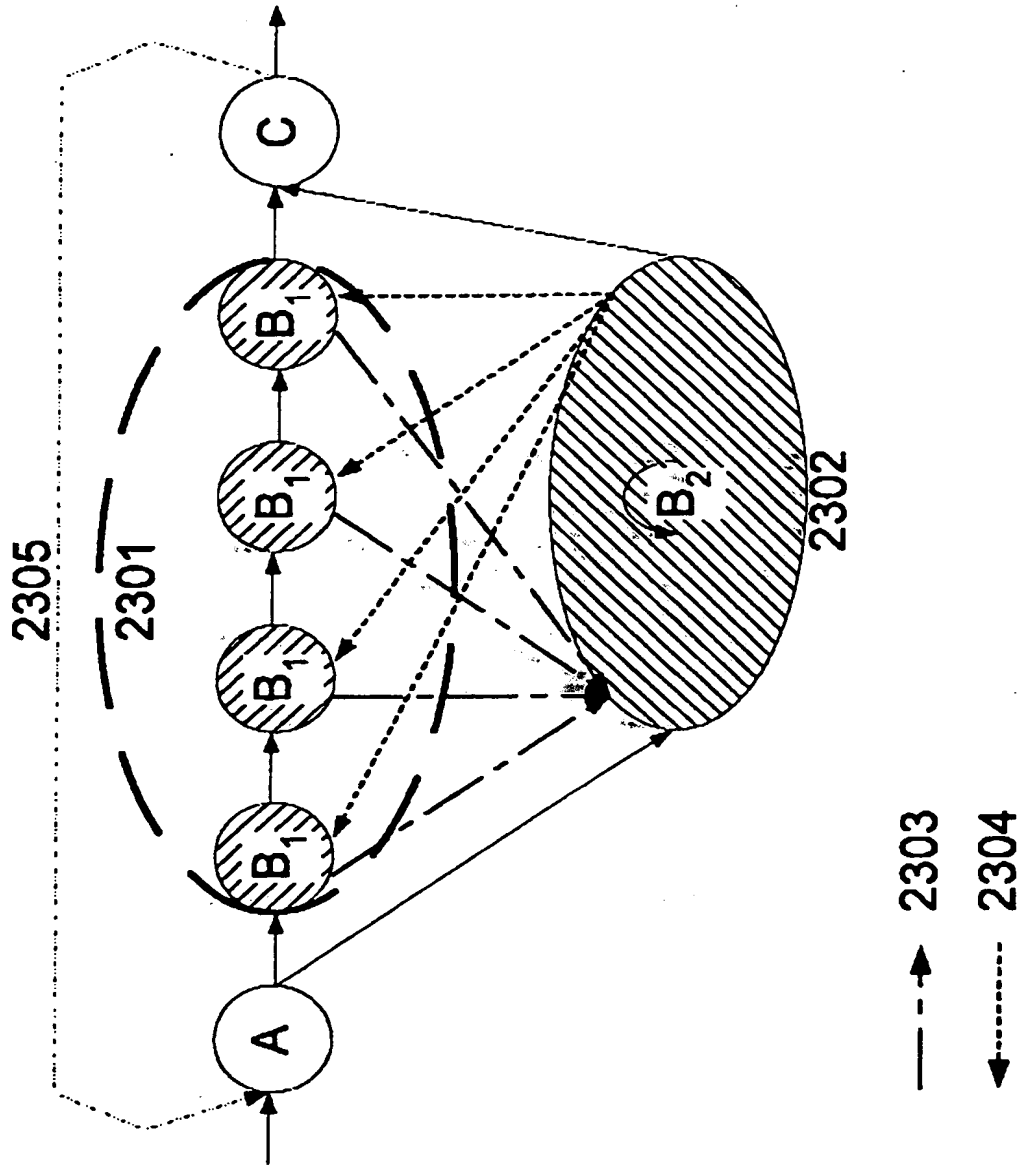


Fig. 20b





**Fig. 23**

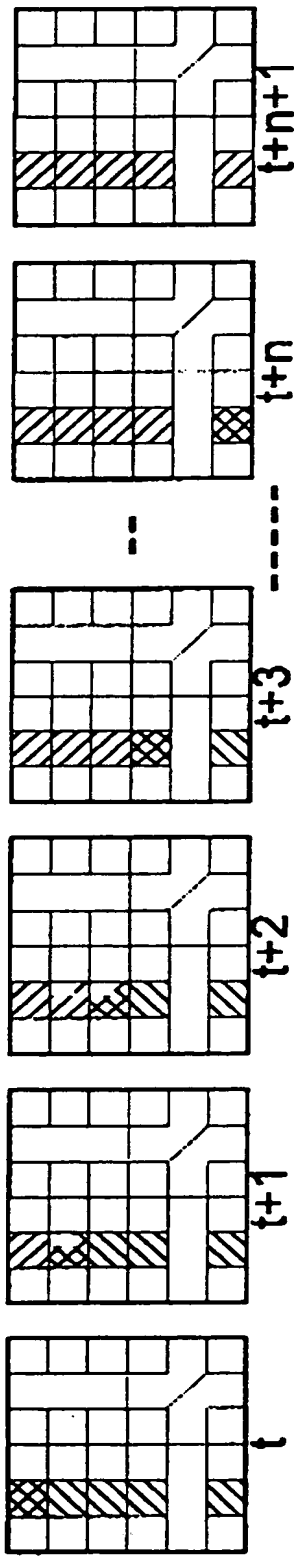


Fig. 24a

- 2401
- 2402
- 2403

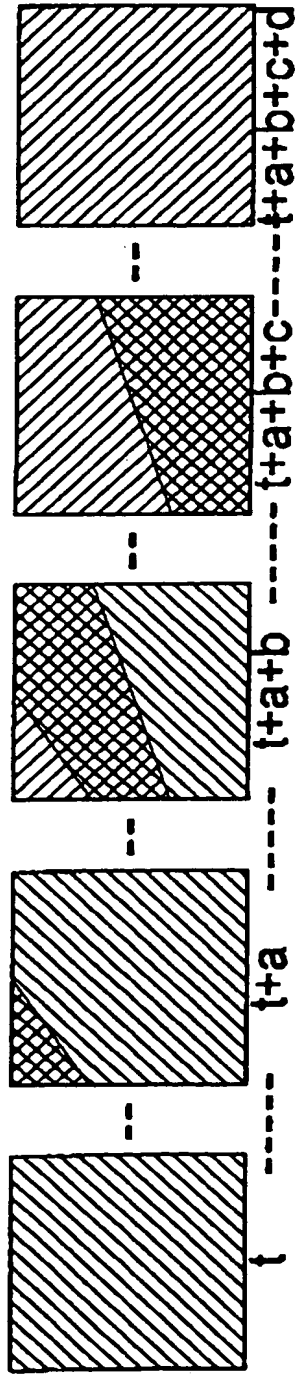


Fig. 24b

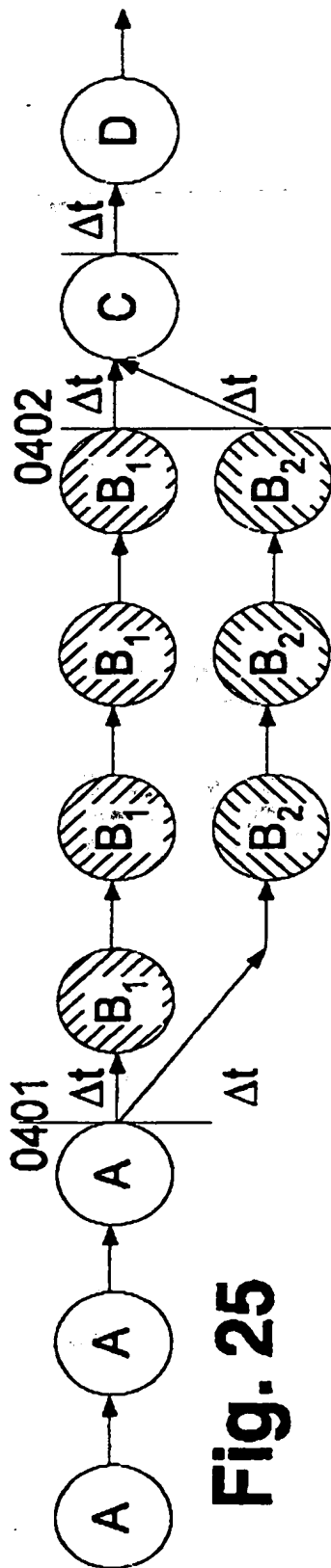
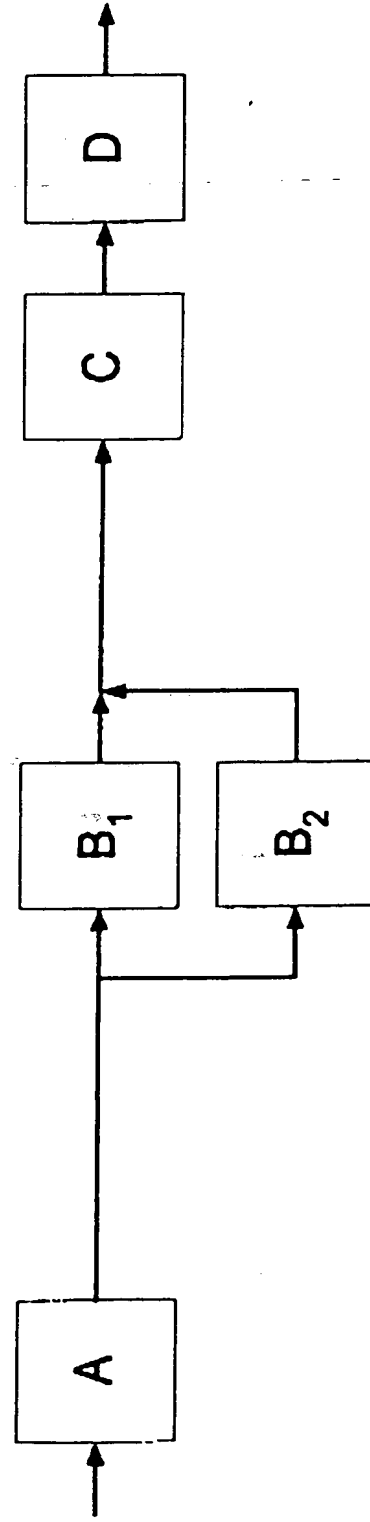
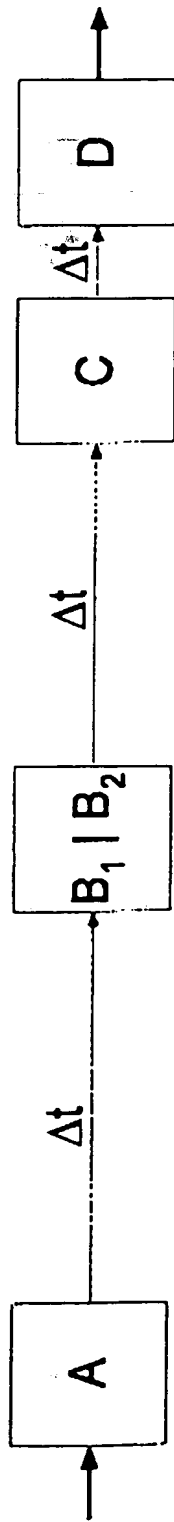


Fig. 25



**This Page is Inserted by IFW Indexing and Scanning  
Operations and is not part of the Official Record**

**BEST AVAILABLE IMAGES**

Defective images within this document are accurate representations of the original documents submitted by the applicant.

Defects in the images include but are not limited to the items checked:

- ☐ BLACK BORDERS
- ☐ IMAGE CUT OFF AT TOP, BOTTOM OR SIDES
- ☐ FADED TEXT OR DRAWING
- ☐ BLURRED OR ILLEGIBLE TEXT OR DRAWING
- ☐ SKEWED/SLANTED IMAGES
- ☐ COLOR OR BLACK AND WHITE PHOTOGRAPHS
- ☐ GRAY SCALE DOCUMENTS
- ☐ LINES OR MARKS ON ORIGINAL DOCUMENT
- ☒ REFERENCE(S) OR EXHIBIT(S) SUBMITTED ARE POOR QUALITY
- ☐ OTHER: \_\_\_\_\_

**IMAGES ARE BEST AVAILABLE COPY.**

**As rescanning these documents will not correct the image problems checked, please do not report these problems to the IFW Image Problem Mailbox.**

**THIS PAGE BLANK (USPTO)**